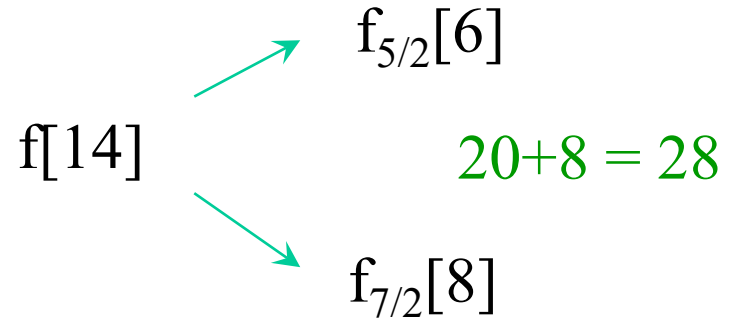
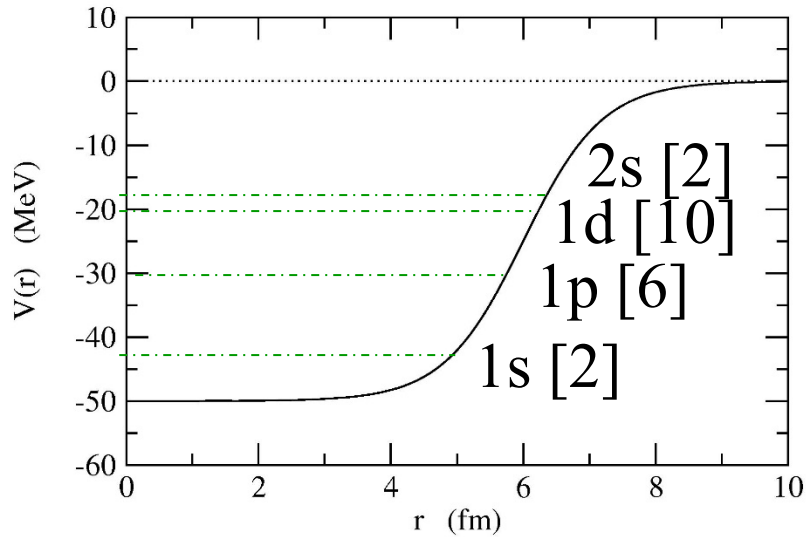
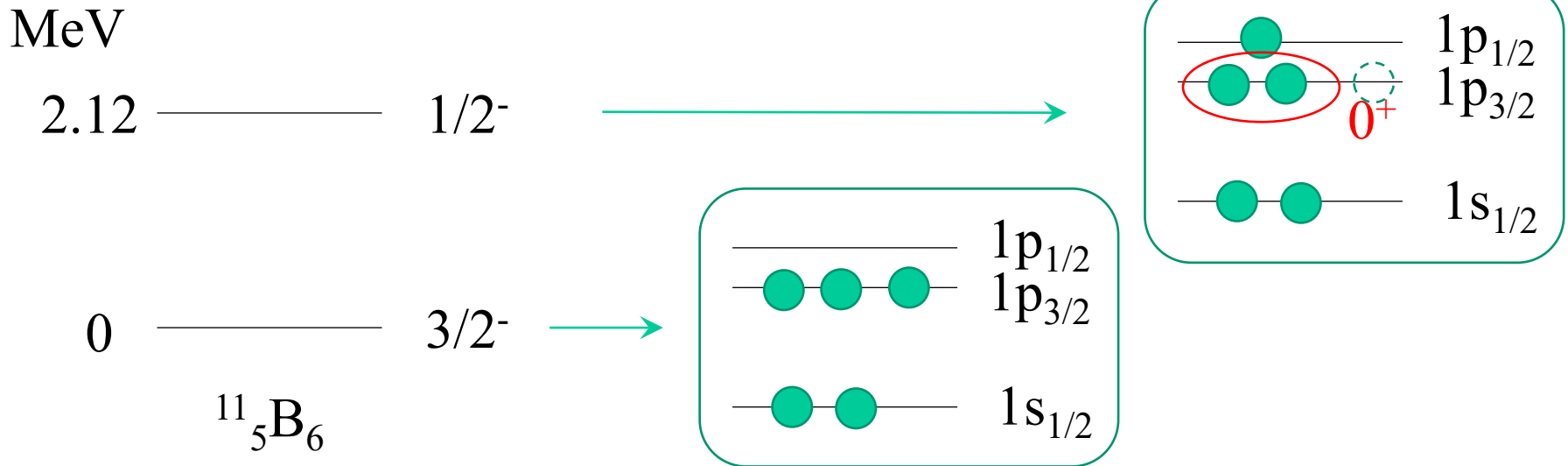


Mean-field approximation and deformation



example:

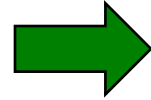


同じように殻模型で $^{11}_4\text{Be}_7$ のレベルを考えると。。。

殻模型(球形ポテンシャルの準位)で考えた場合:

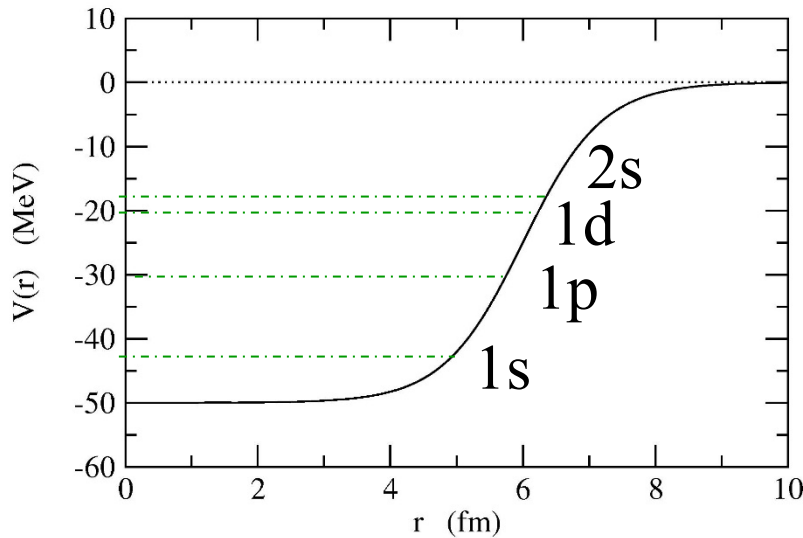
—●— $1p_{1/2}$ [2]

●●●● $1p_{3/2}$ [4]



^{11}Be の基底状態は $I^\pi = 1/2^-$

—●—●— $1s_{1/2}$ [2]



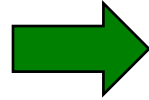
同じように殻模型で $^{11}_4\text{Be}_7$ のレベルを考えると。。。

殻模型(球形ポテンシャルの準位)で考えた場合:

—●— $1p_{1/2}$ [2]

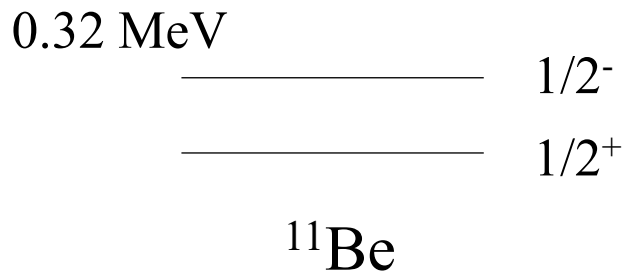
—●●●●— $1p_{3/2}$ [4]

—●●— $1s_{1/2}$ [2]



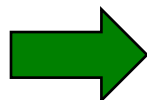
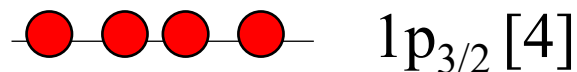
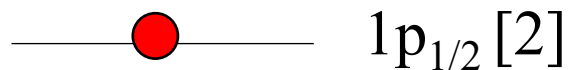
^{11}Be の基底状態は $I^\pi = 1/2^-$

実際の ^{11}Be の準位を見てみると:

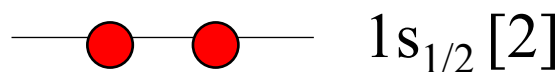


同じように殻模型で $^{11}_4\text{Be}_7$ のレベルを考えると。。。

殻模型 (球形ポテンシャルの準位) で考えた場合:



^{11}Be の基底状態は $I^\pi = 1/2^-$

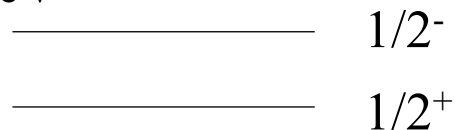


かなり無理

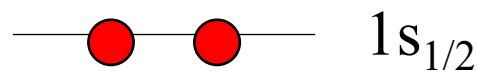
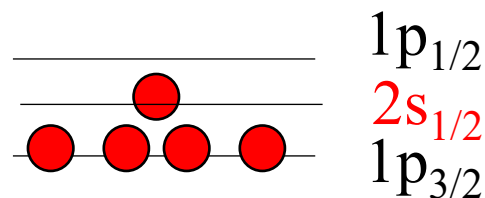
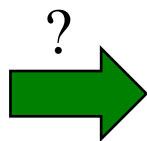


実際の ^{11}Be の準位を見てみると:

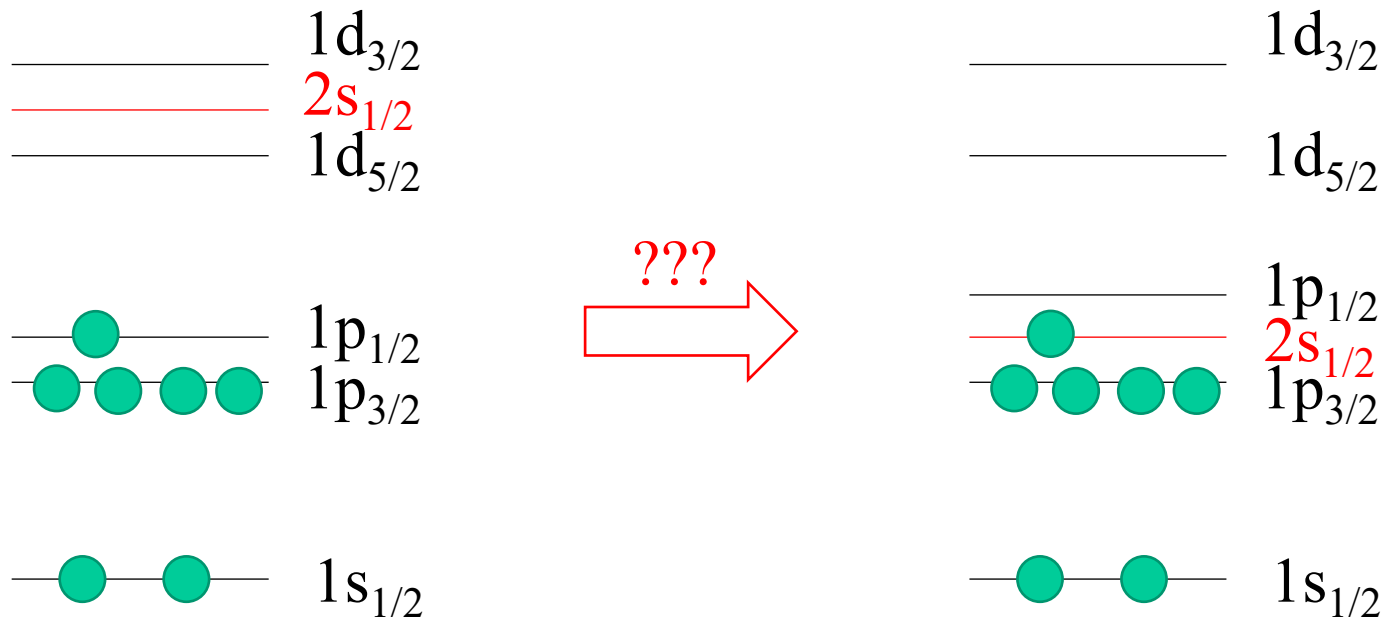
0.32 MeV



^{11}Be



“parity inversion”

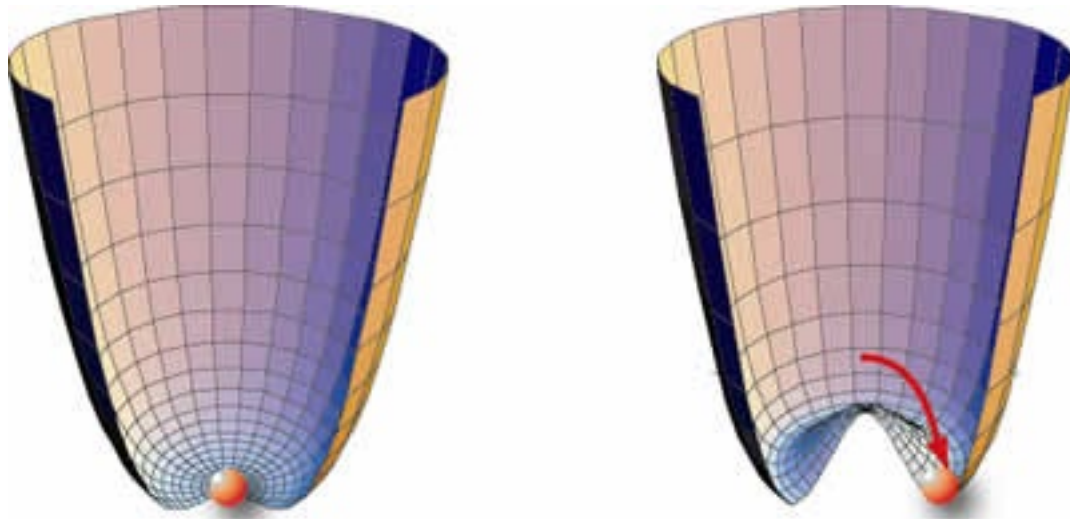


球形ポテンシャルに無理があるなら、変形させてみる？

Mean-field approximation and deformation

$$H = \sum_{i=1}^A \left(-\frac{\hbar^2}{2m} \nabla_i^2 + V_{\text{MF}}(\mathbf{r}_i) \right) + \frac{1}{2} \sum_{i,j}^A v(\mathbf{r}_i, \mathbf{r}_j) - \sum_i V_{\text{MF}}(\mathbf{r}_i)$$

→ Ψ_{MF} : ハミルトニアン H が持っている対称性を持たなくてもいい
“対称性の自発的破れ”



Ψ_{MF} : ハミルトニアン H が持っている対称性を持たなくてもいい

典型的な例

➤ 並進対称性: 原子核のDFTでは常に破れる

$$H = - \sum_{i=1}^A \frac{\hbar^2}{2m} \nabla_i^2 + \frac{1}{2} \sum_{i,j}^A v(\mathbf{r}_i - \mathbf{r}_j) \rightarrow \sum_{i=1}^A \left(-\frac{\hbar^2}{2m} \nabla_i^2 + \underline{V_{MF}(\mathbf{r}_i)} \right)$$

Ψ_{MF} : ハミルトニアン H が持っている対称性を持たなくてもいい

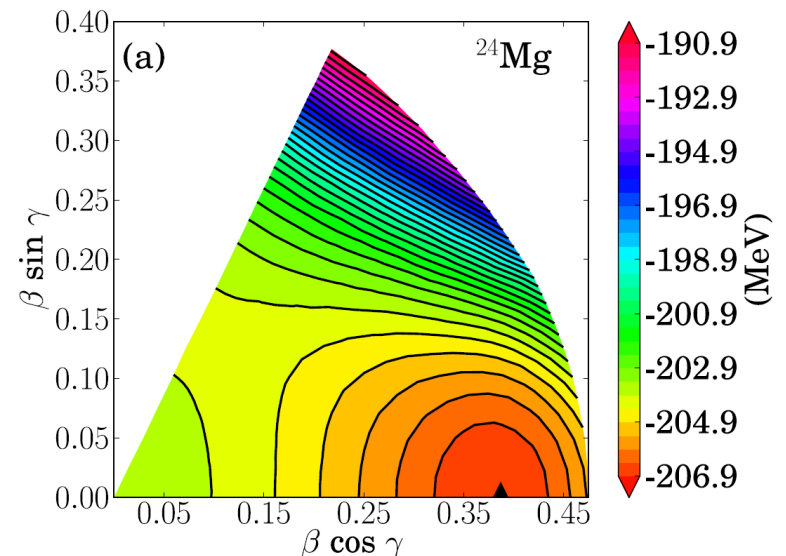
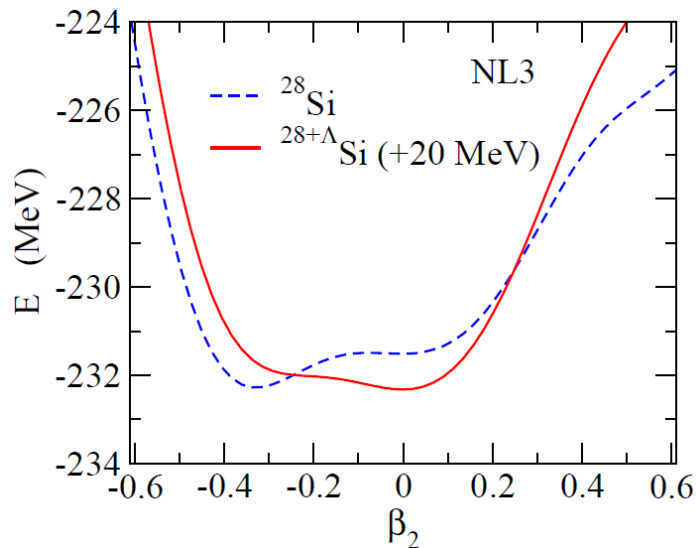
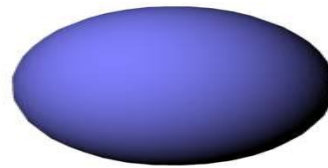
典型的な例

➤ 並進対称性: 原子核のDFTでは常に破れる

$$H = - \sum_{i=1}^A \frac{\hbar^2}{2m} \nabla_i^2 + \frac{1}{2} \sum_{i,j}^A v(r_i - r_j) \rightarrow \sum_{i=1}^A \left(-\frac{\hbar^2}{2m} \nabla_i^2 + \underline{V_{MF}(r_i)} \right)$$

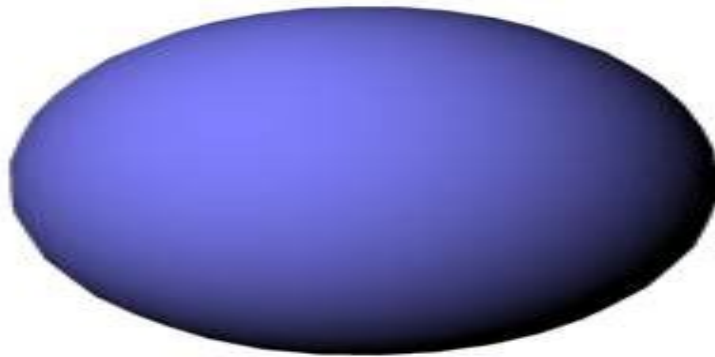
➤ 回転対称性

変形した基底状態



Nuclear Deformation

実験的な証拠



Nuclear Deformation

Excitation spectra of ^{154}Sm

(MeV)

0.903 ————— 8^+

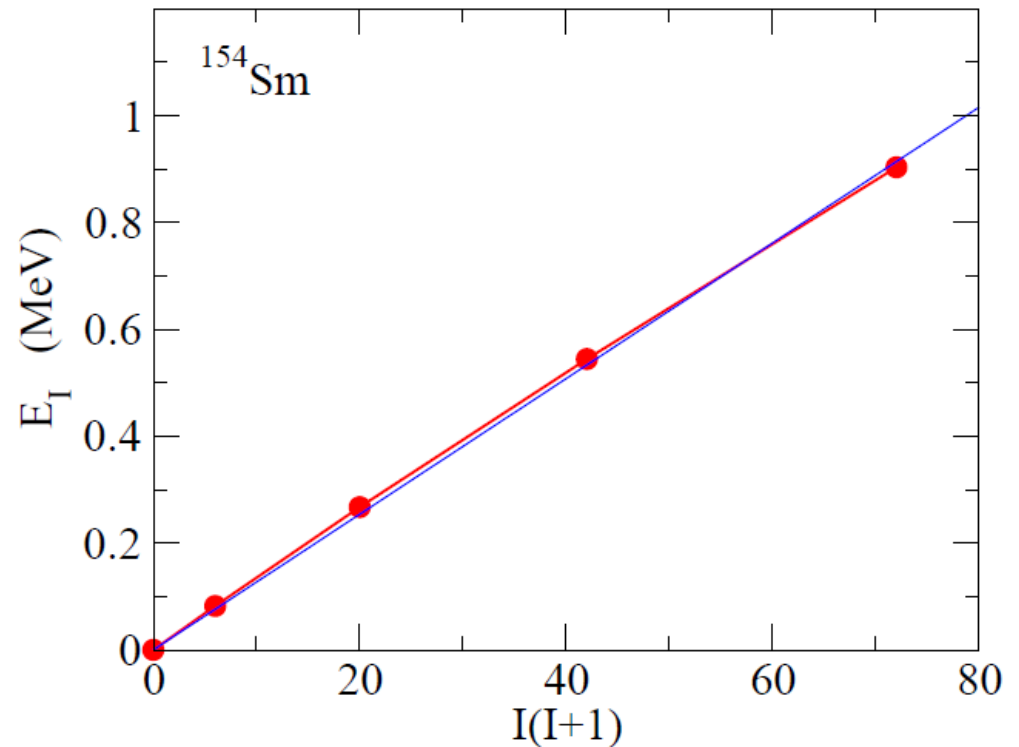
0.544 ————— 6^+

0.267 ————— 4^+

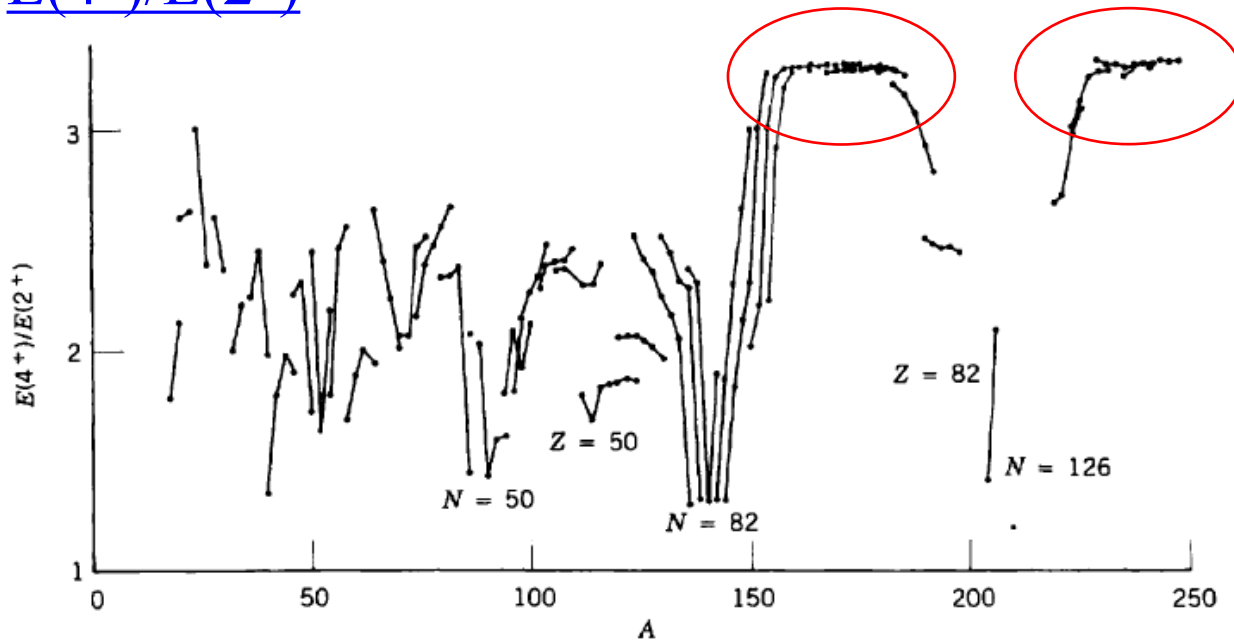
0.082 ————— 2^+
0 ————— 0^+

^{154}Sm

$$E_I \sim \frac{I(I+1)\hbar^2}{2\mathcal{J}}$$



$E(4^+)/E(2^+)$

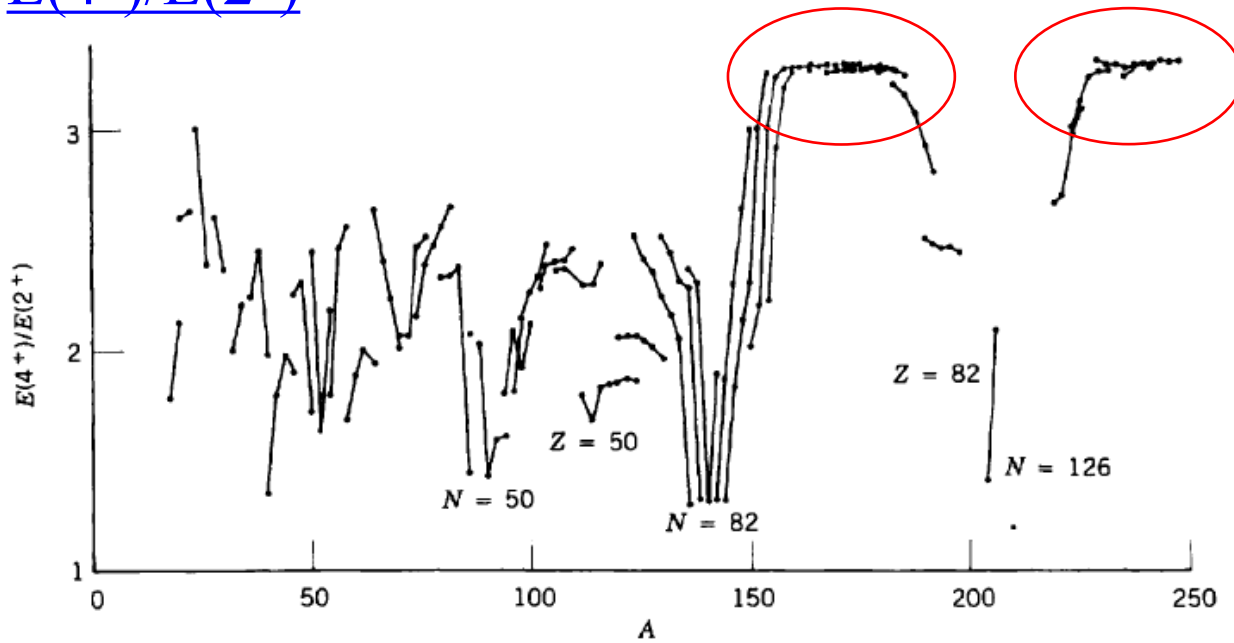


deformed nuclei:
 $E(4^+)/E(2^+) \sim 3.3$

spherical nuclei:
 $E(4^+)/E(2^+) \sim 2$

K.S. Krane, "Introductory Nuclear Physics"

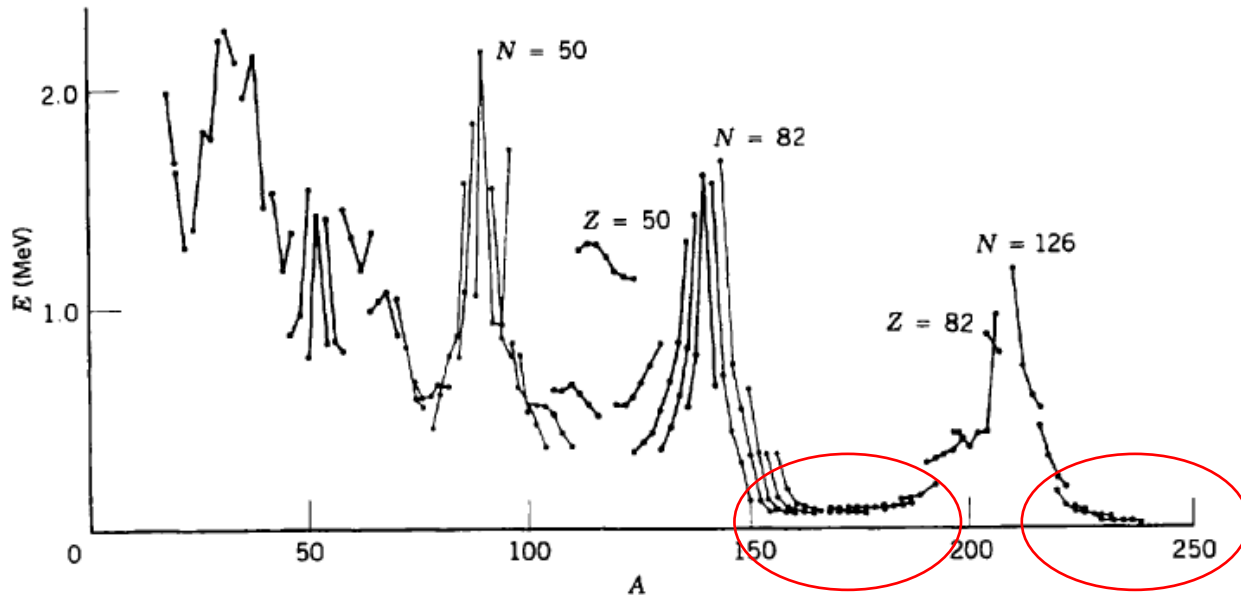
$E(4^+)/E(2^+)$



deformed nuclei:
 $E(4^+)/E(2^+) \sim 3.3$

spherical nuclei:
 $E(4^+)/E(2^+) \sim 2$

$E(2^+)$



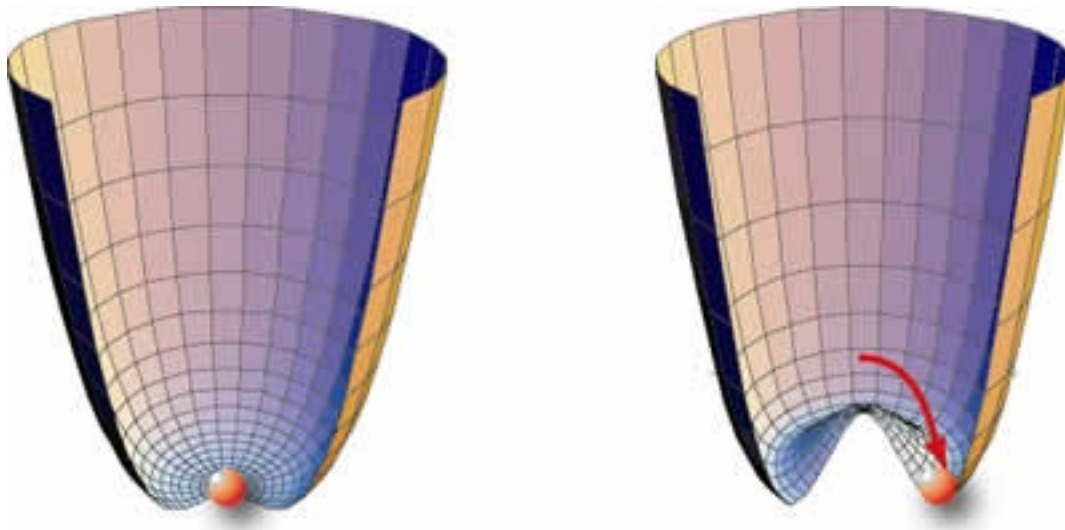
K.S. Krane. "Introductory Nuclear Physics"

a small energy
→ spontaneously
symm. breaking

deformed nuclei

Spontaneous symmetry breaking

The vacuum state does not have (i.e, the vacuum state violates) the symmetry which the Hamiltonian has.



Nambu-Goldstone mode (zero energy mode)
to restore the symmetry

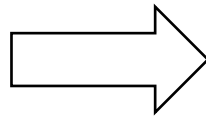
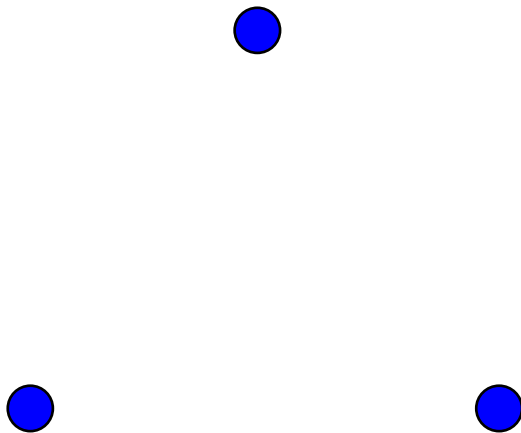
Quiz: spontaneous symmetry breaking

There are a few dots.

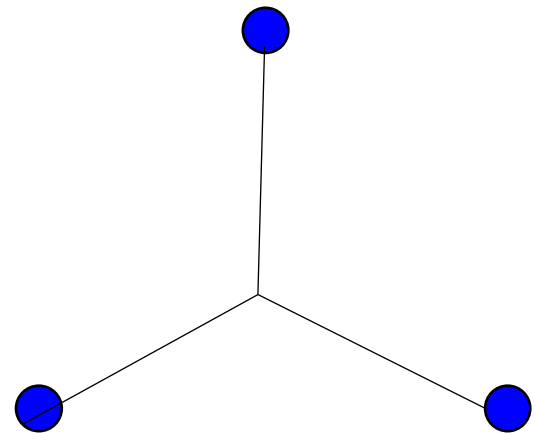
- Connect the dots.
- The number of lines is not limited.
- Two lines can cross.
- Connect the dots so that one can go from one dot to all the other dots.

How do you connect the lines if you want to make the total length of lines the shortest?

e.g.) Equilateral triangle



Connect symmetrically



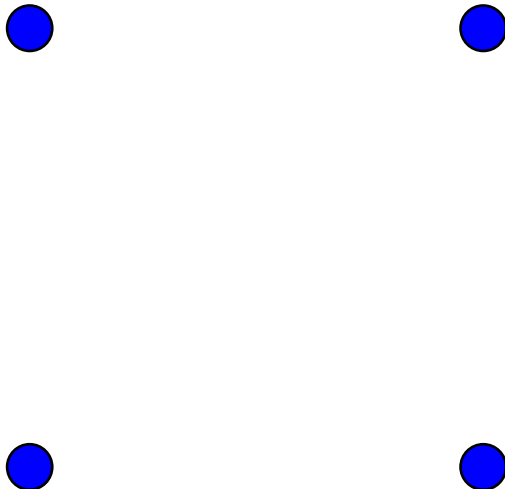
Quiz: spontaneous symmetry breaking

There are a few dots.

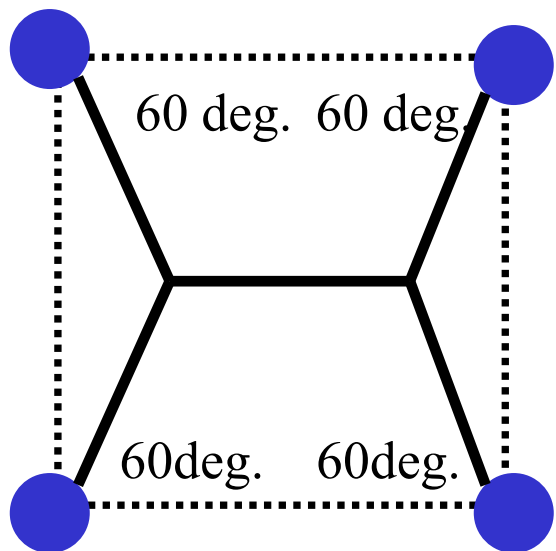
- Connect the dots.
- The number of lines is not limited.
- Two lines can cross.
- Connect the dots so that one can go from one dot to all the other dots.

How do you connect the lines if you want to make the total length of lines the shortest?

(question) how about the case for a square?



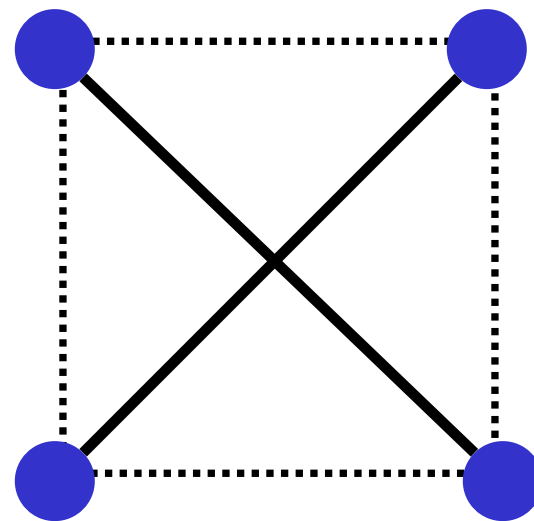
(the answer)



Length

$$\begin{aligned} & 4 \times \frac{1}{\sqrt{3}} + \left(1 - 2 \times \frac{1}{2\sqrt{3}} \right) \\ & = 1 + \sqrt{3} \\ & = 2.732 \dots \end{aligned}$$

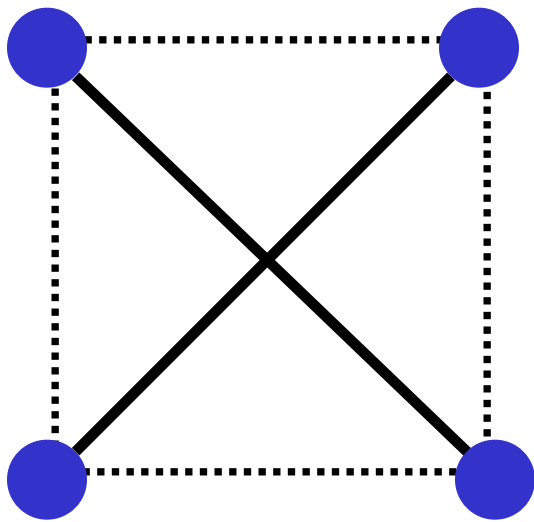
cf.



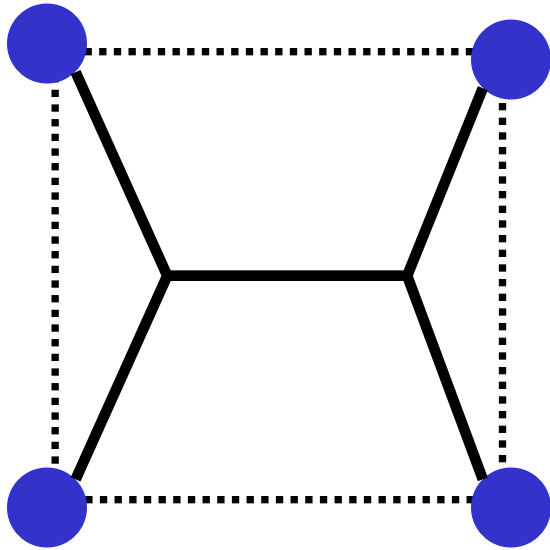
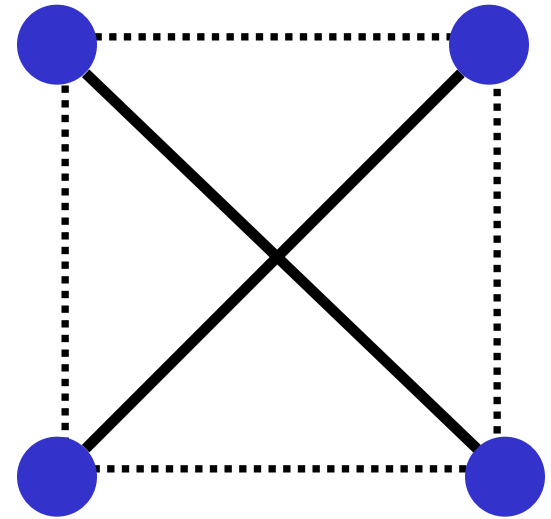
Length

$$2 \times \sqrt{2} = 2.828 \dots$$

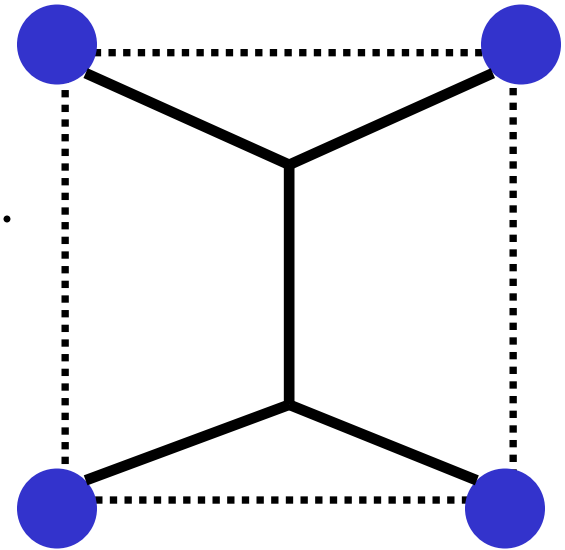
Ref. Takeshi Koike,
“Genshikaku Kenkyu” Vol. 52 No. 2, p. 14



invariant with
rotation by 90 deg.



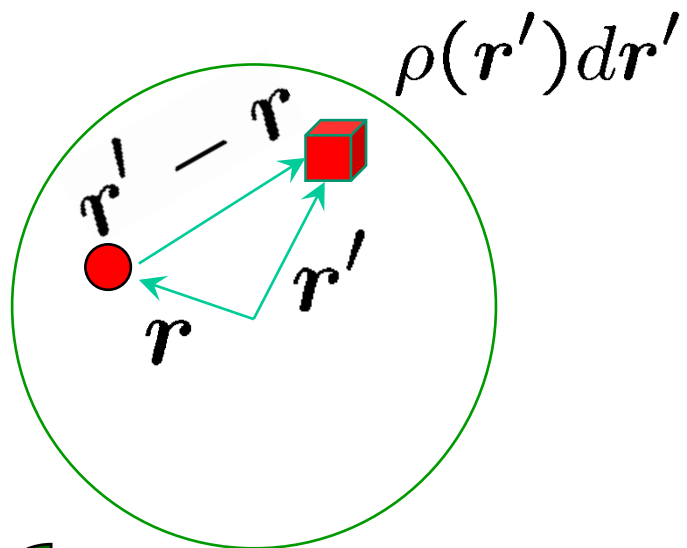
rotation by 90 deg.



a good example of spontaneous symm. breaking


Courtesy: Takeshi Koike

One-particle motion in a deformed potential



naively speaking,

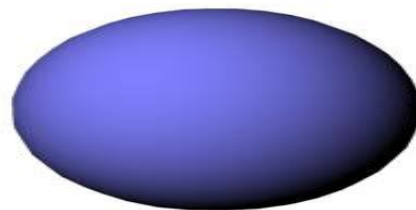
$$V(\mathbf{r}) \sim \int v(\mathbf{r} - \mathbf{r}')\rho(\mathbf{r}')d\mathbf{r}'$$



$$V(\mathbf{r}) \sim \int v(\mathbf{r}, \mathbf{r}')\rho(\mathbf{r}')d\mathbf{r}' \sim -g\rho(\mathbf{r}) \quad \text{if } v(\mathbf{r}, \mathbf{r}') = -g\delta(\mathbf{r} - \mathbf{r}')$$

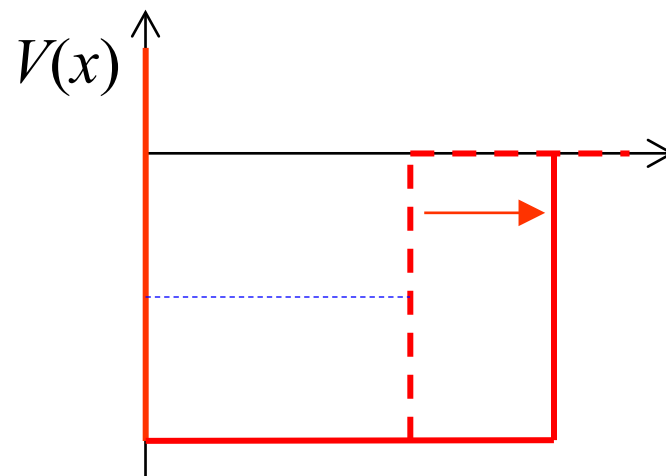
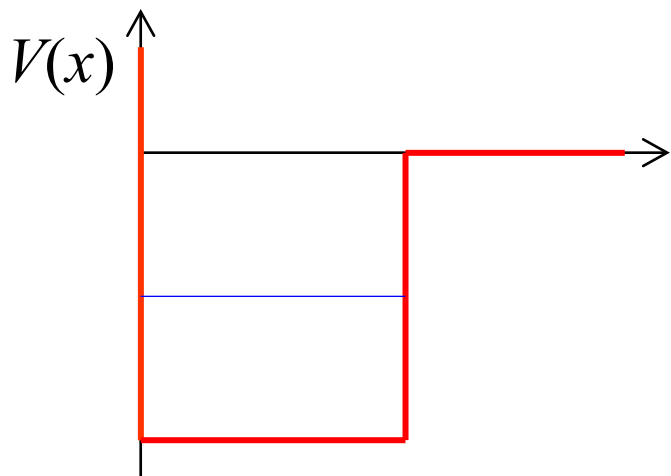


$\rightarrow V(r)$

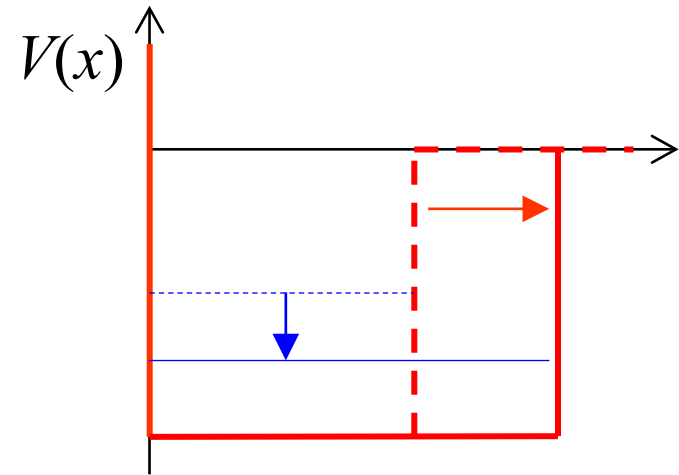
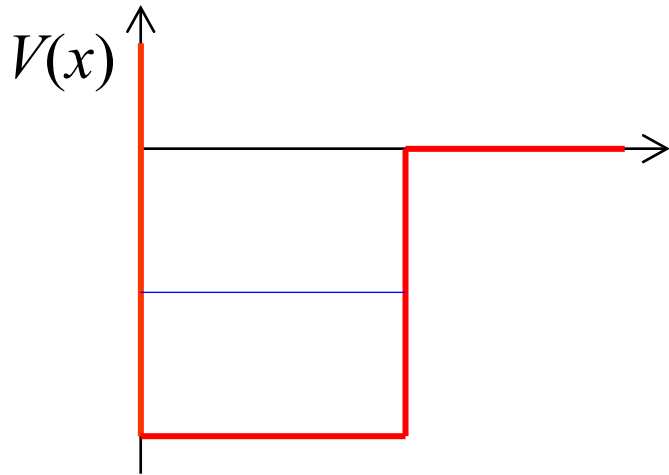


$\rightarrow V(r, \theta)$

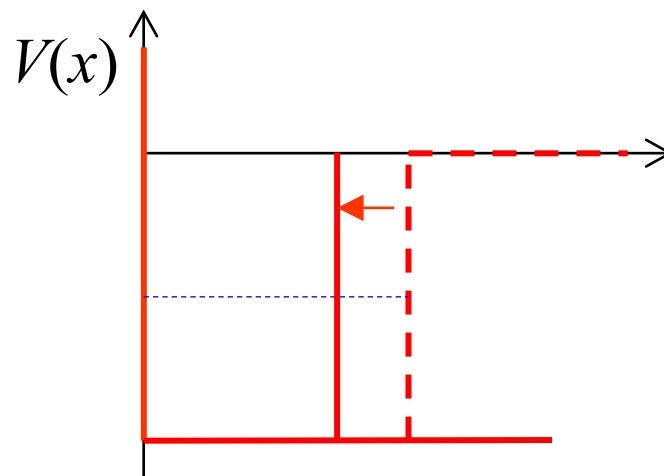
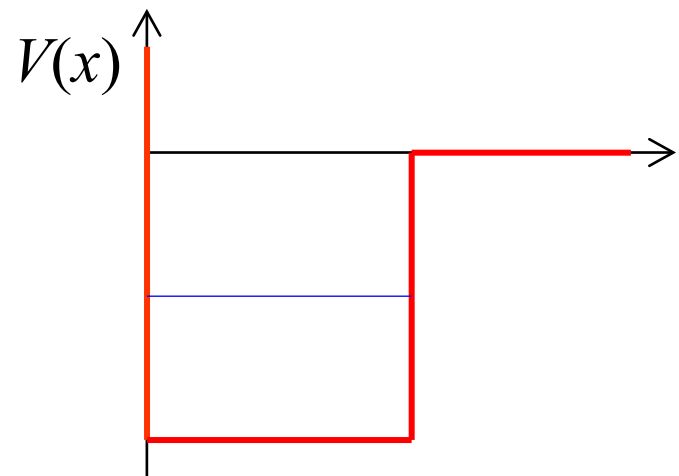
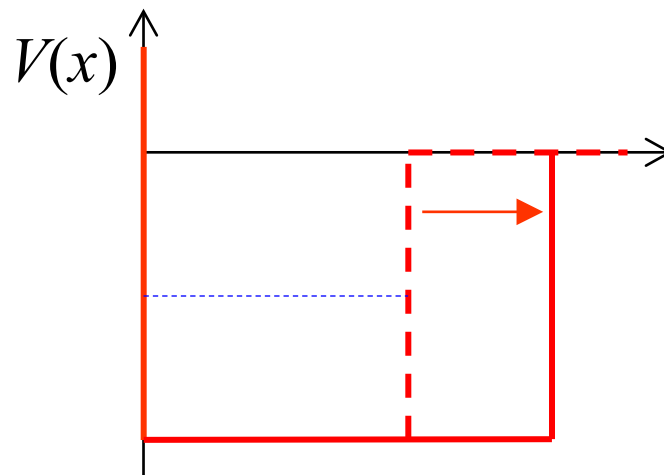
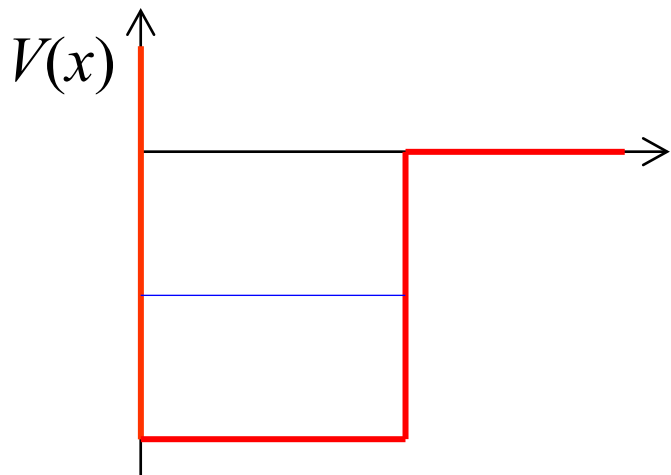
(準備) 1次元井戸型ポテンシャル



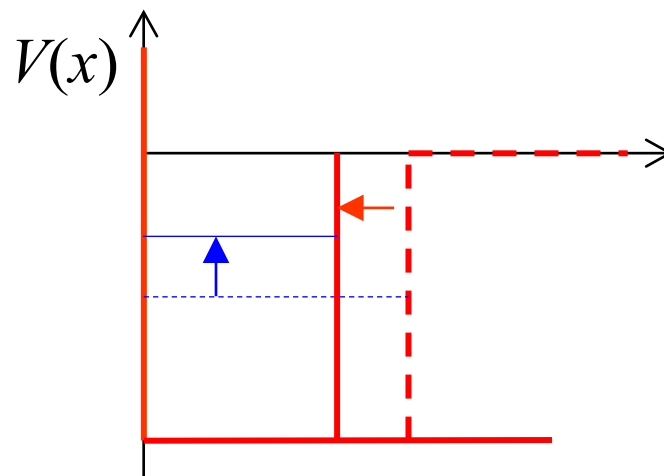
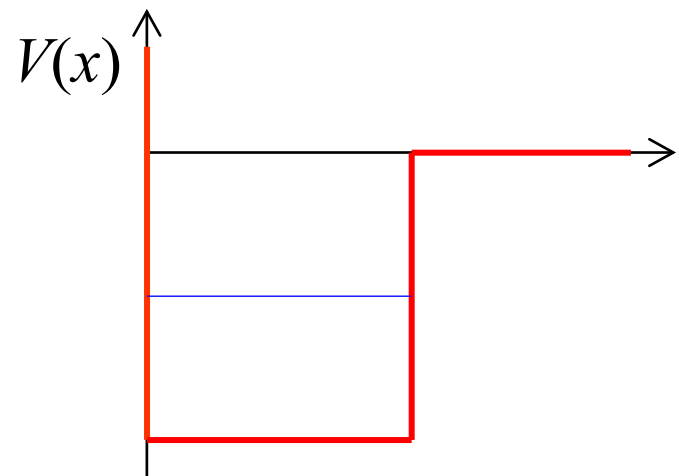
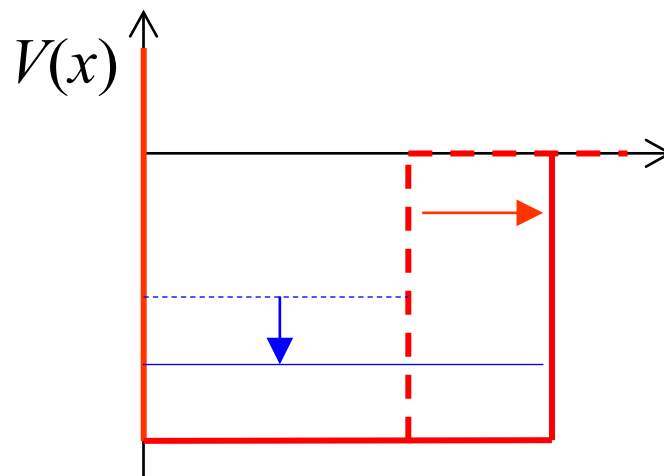
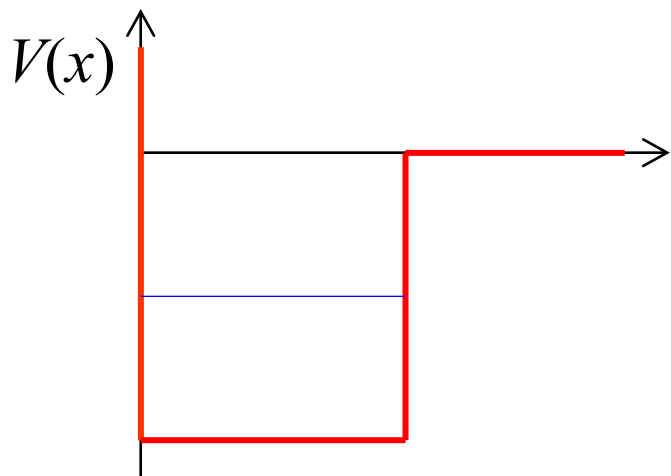
(準備) 1次元井戸型ポテンシャル



(準備) 1次元井戸型ポテンシャル

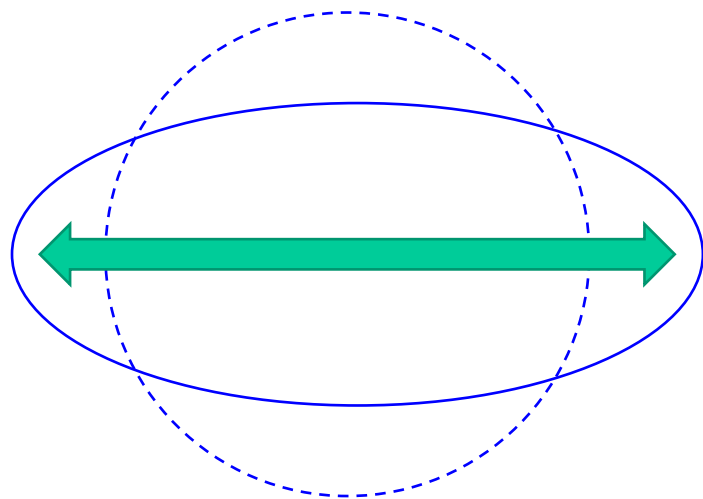


(準備) 1次元井戸型ポテンシャル

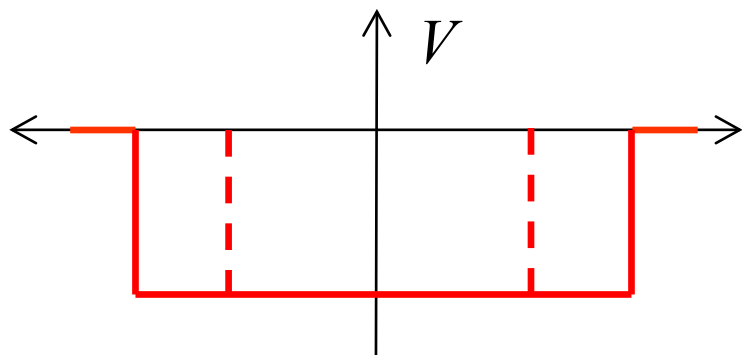
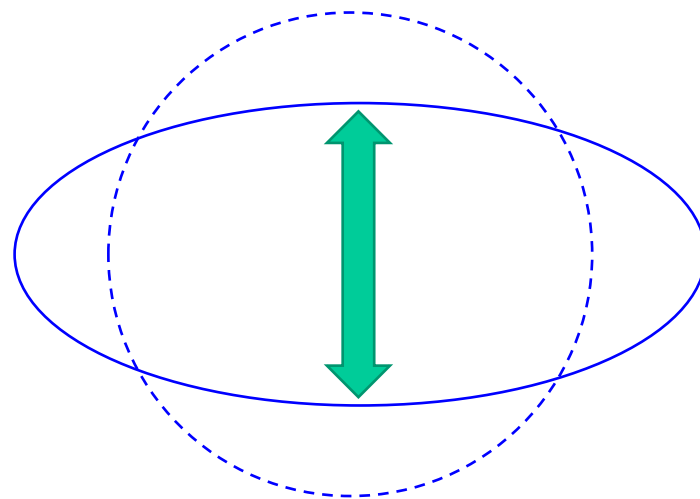


One-particle motion in a deformed potential

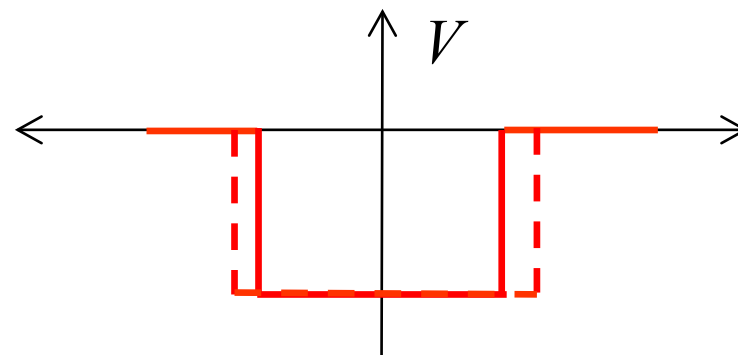
長軸に沿った運動



短軸に沿った運動



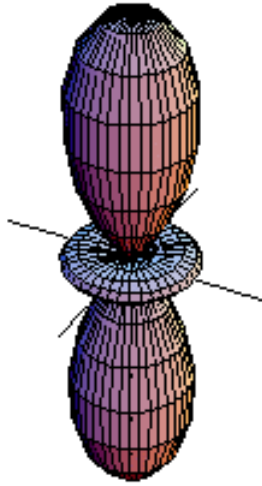
$E \rightarrow$ 小



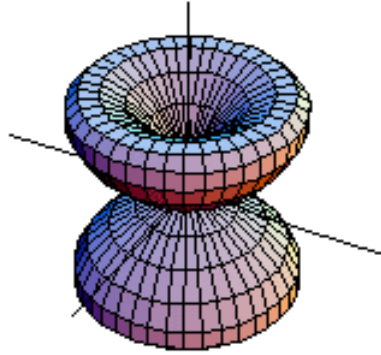
$E \rightarrow$ 大

$l=2$

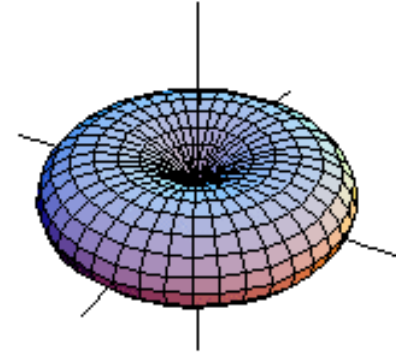
z



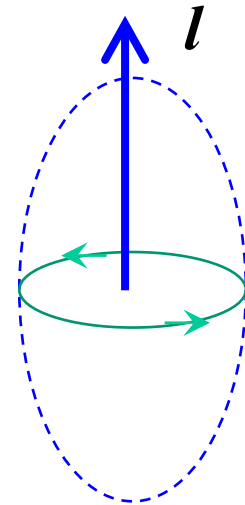
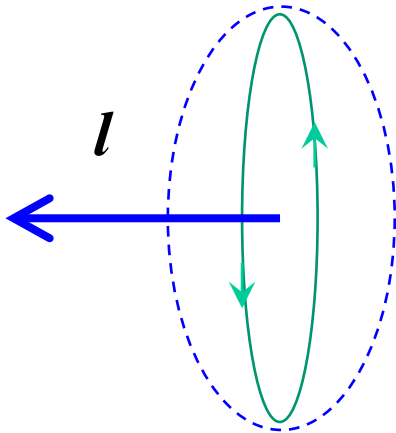
$$r = Y_{20} \\ (l_z = 0)$$



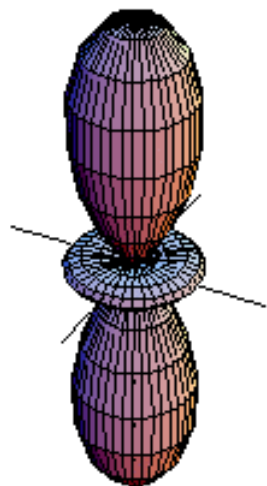
$$r = Y_{21} \\ (l_z = 1)$$



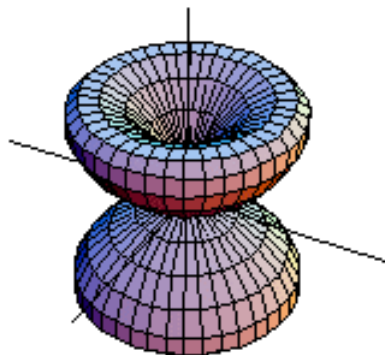
$$r = Y_{22} \\ (l_z = 2)$$



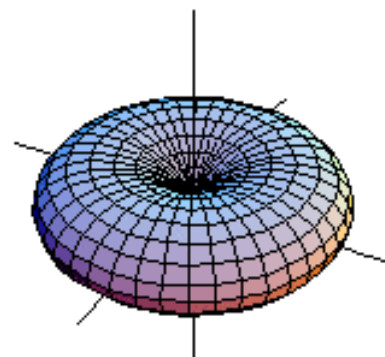
$l=2$



$$r = Y_{20}$$
$$(l_z = 0)$$



$$r = Y_{21}$$
$$(l_z = 1)$$



$$r = Y_{22}$$
$$(l_z = 2)$$

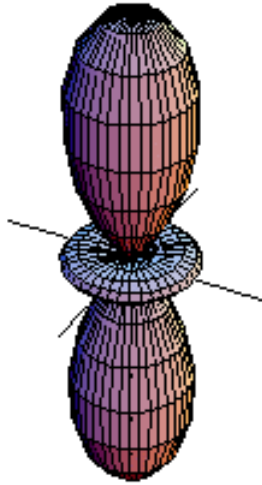
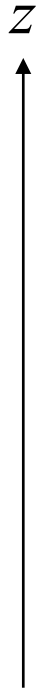


$E \rightarrow$ 小

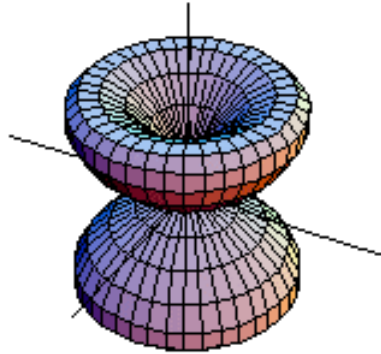
なら

$E \rightarrow$ 大

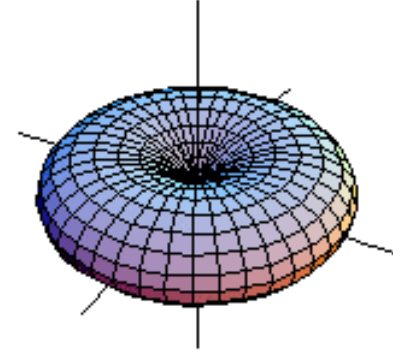
$l=2$



$$r = Y_{20}$$
$$(l_z = 0)$$

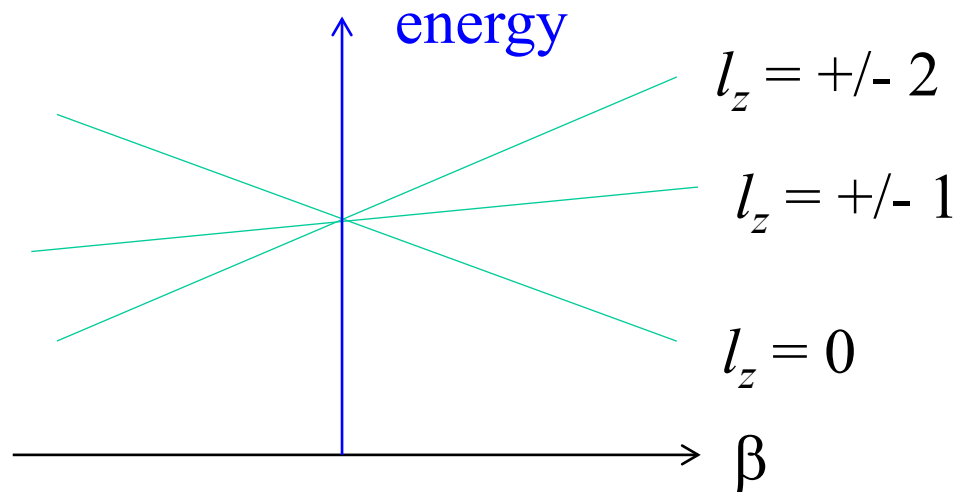


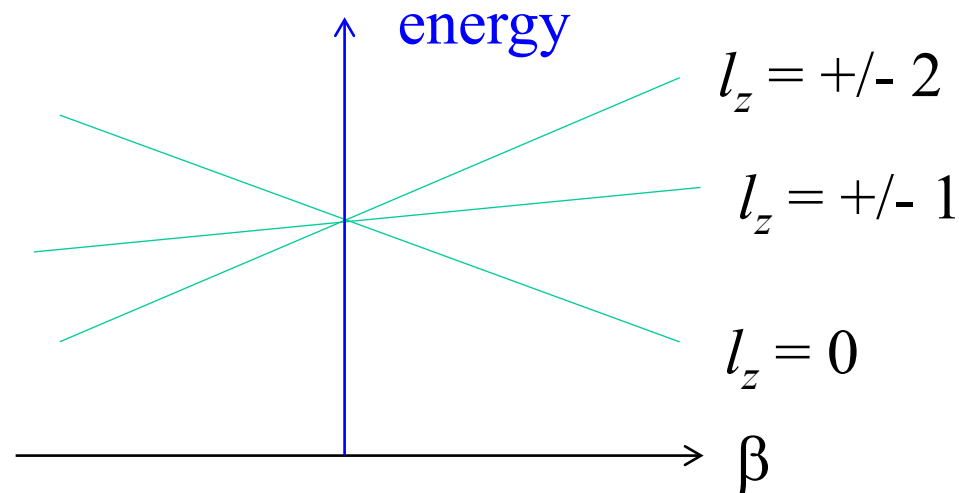
$$r = Y_{21}$$
$$(l_z = 1)$$



$$r = Y_{22}$$
$$(l_z = 2)$$

軌道が
スプリット





波動関数

- (note) $V(r, \theta) \rightarrow$ 回転対称性を持っていない
 \rightarrow 角運動量がいい量子数ではない

$$\phi_{nll_z}(r, \theta, \phi) \rightarrow \phi_{nl_z}(r, \theta, \phi) = \sum_l \psi_{nl}(r) Y_{ll_z}(\theta, \phi)$$

いろいろな角運動量成分
が混じる

* 軸対称変形であれば l_z は保存

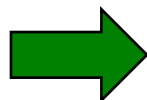
殻模型による $^{11}_4\text{Be}_7$ のレベル

殻模型 (球形ポテンシャルの準位) で考えた場合:

—●— $1p_{1/2}$ [2]

●●●● $1p_{3/2}$ [4]

—●—●— $1s_{1/2}$ [2]



^{11}Be の基底状態は $I^\pi = 1/2^-$

かなり無理

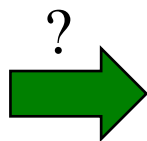


実際の ^{11}Be の準位を見てみると:

0.32 MeV

————— $1/2^-$
————— $1/2^+$

^{11}Be

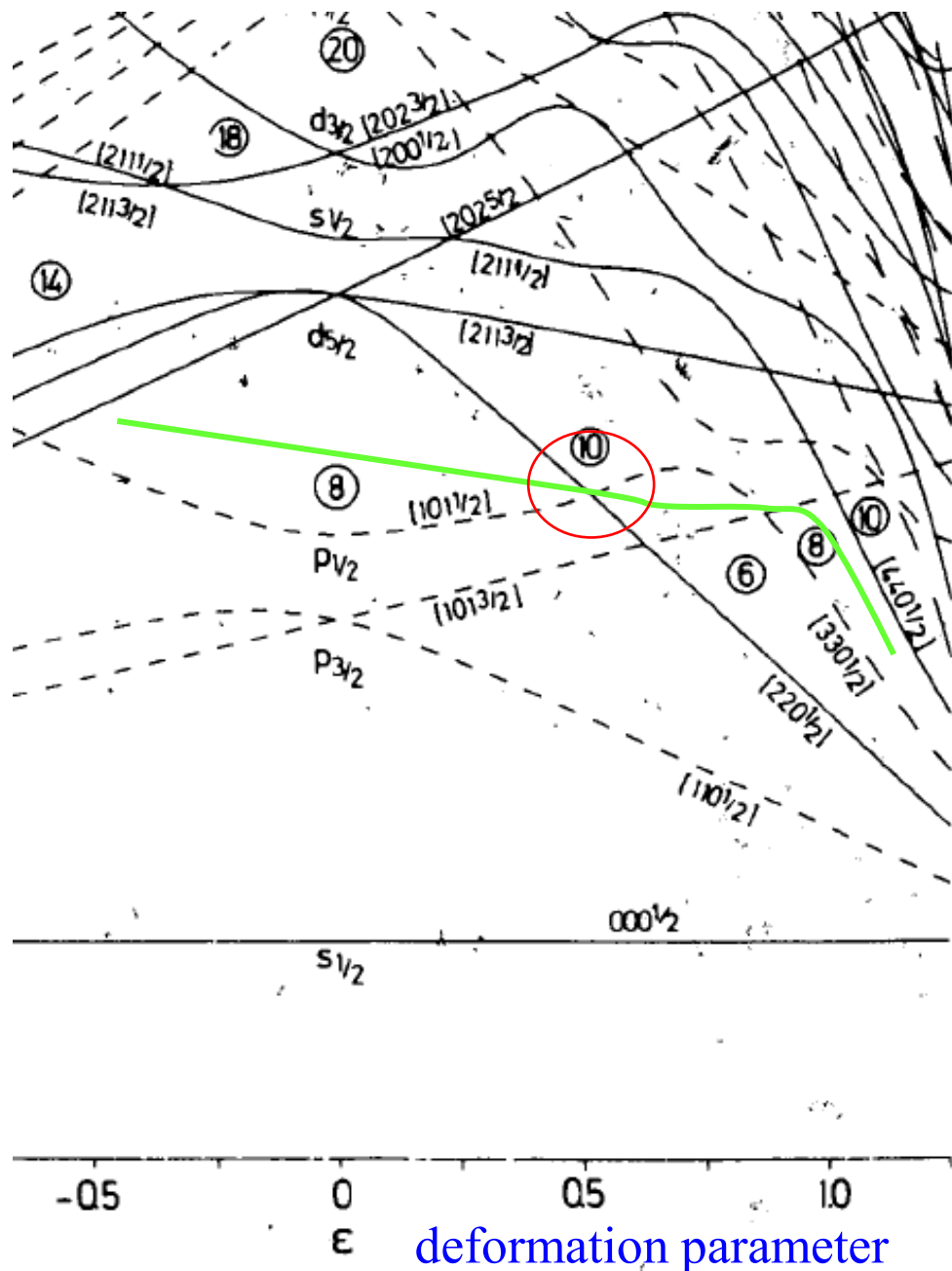


————— $1p_{1/2}$
●●●● $2s_{1/2}$
————— $1p_{3/2}$

—●—●— $1s_{1/2}$

“parity inversion”

$^{11}_4\text{Be}_7$



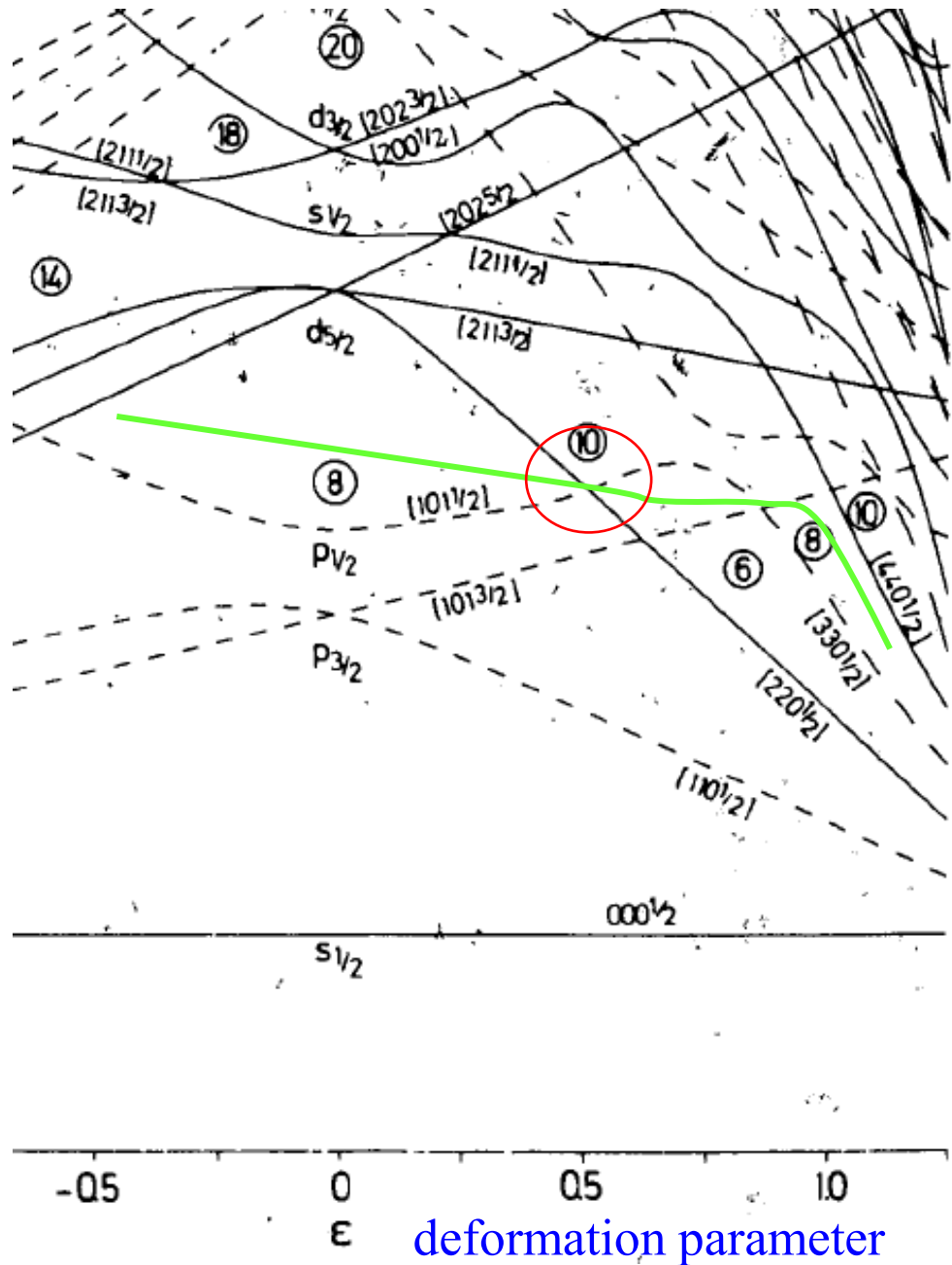
0.32 MeV

_____ $1/2^-$
_____ $1/2^+$

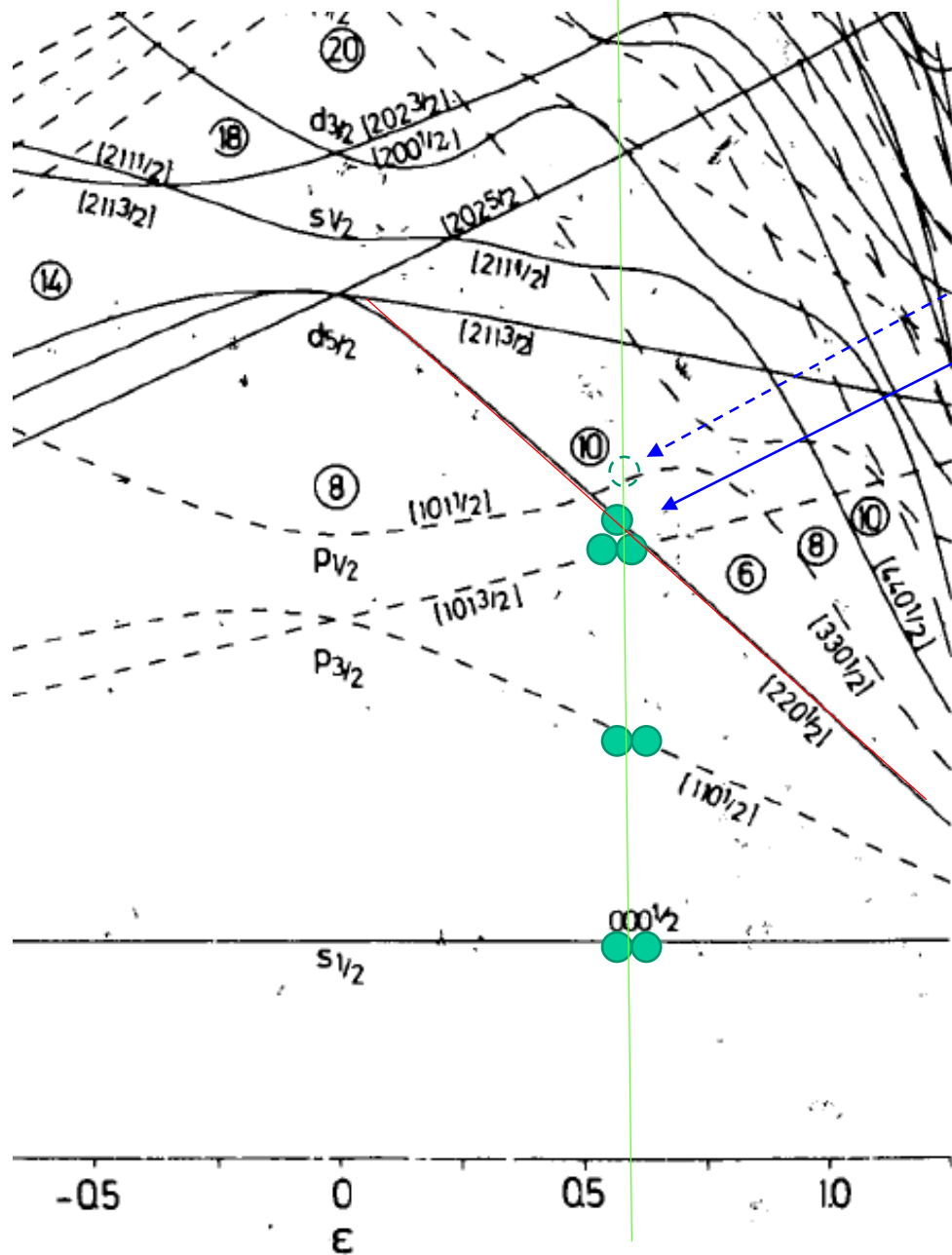
^{11}Be

- ✓ 7番目の中性子の入る軌道を探す
(それぞれの軌道に2つずつ中性子をつめる)

$^{11}_4\text{Be}_7$



$^{11}_4\text{Be}_7$



0.32 MeV

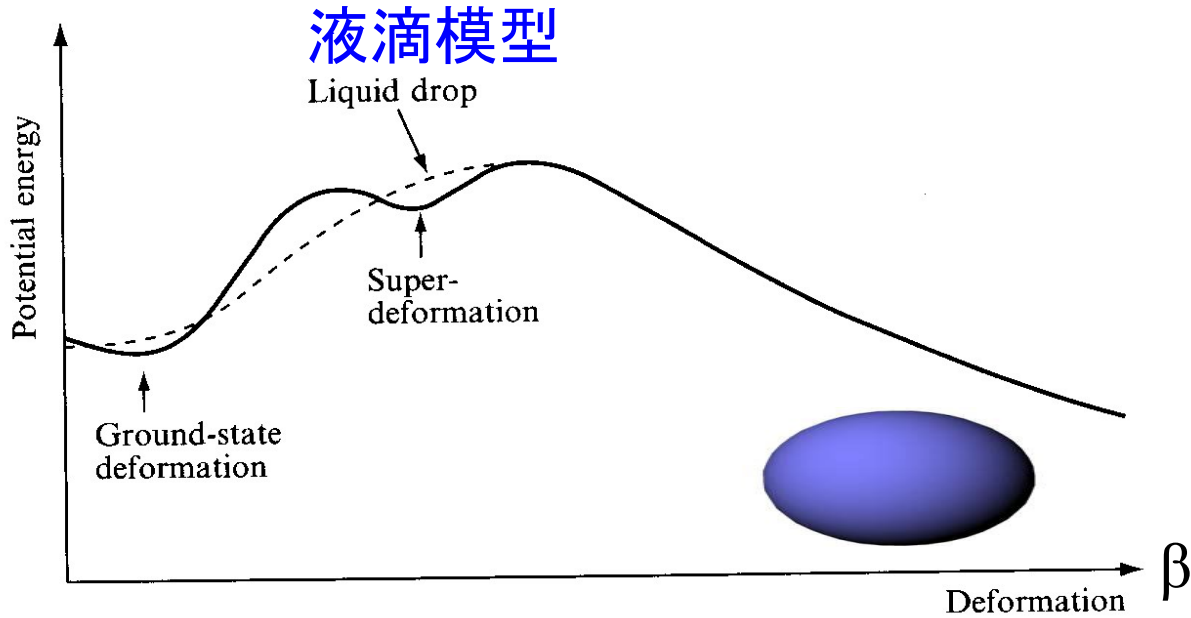
1/2⁻

1/2⁺

^{11}Be

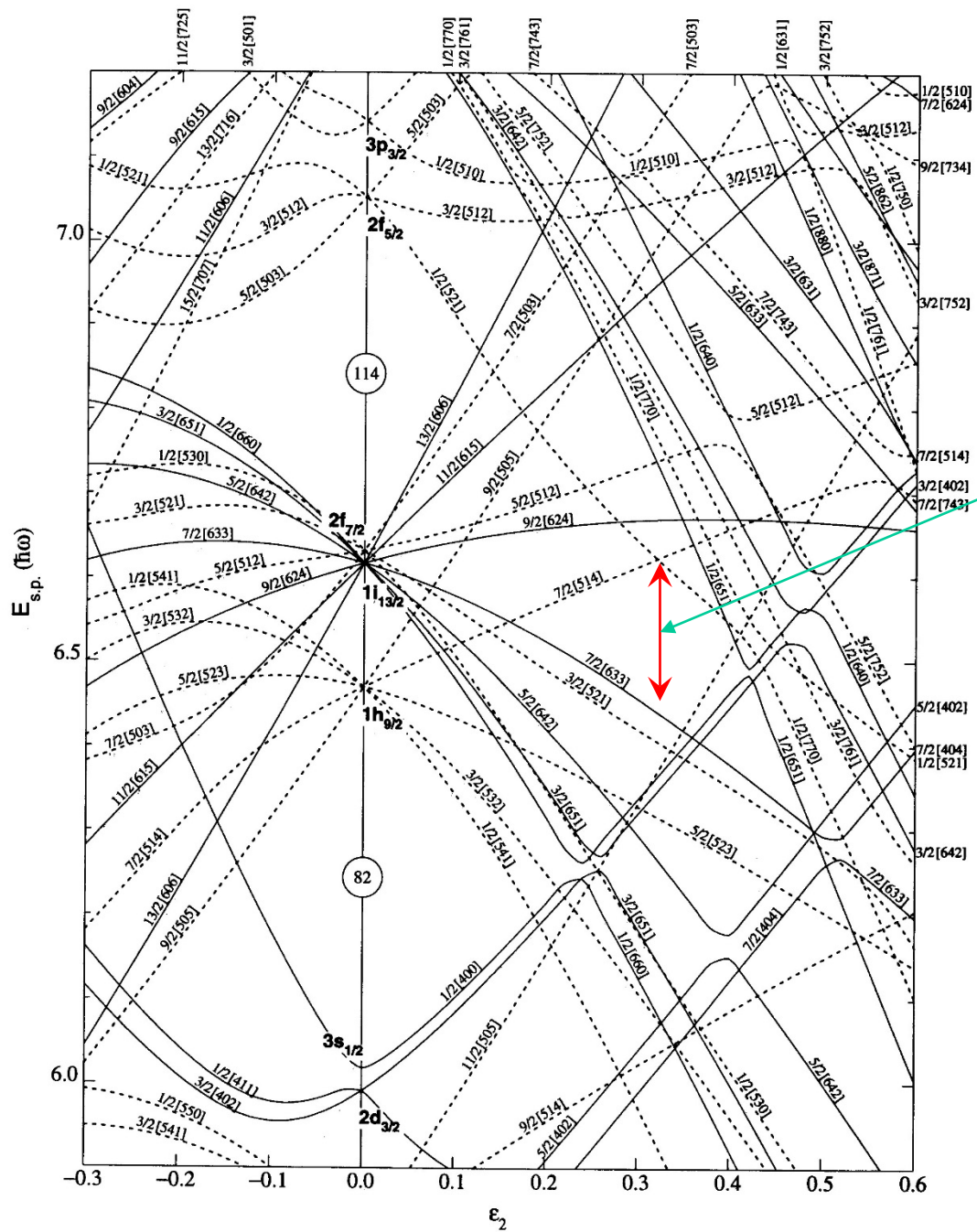
- ✓ 7番目の中性子の入る軌道を探す
(それぞれの軌道に2つずつ中性子をつめる)

原子核の変形と殻効果



$$E(\beta) = E_{LDM}(\beta) + E_{shell}(\beta)$$

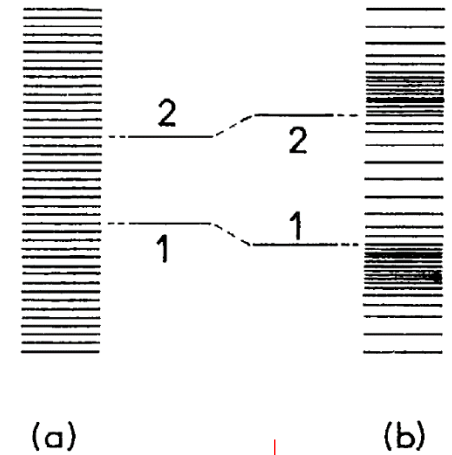
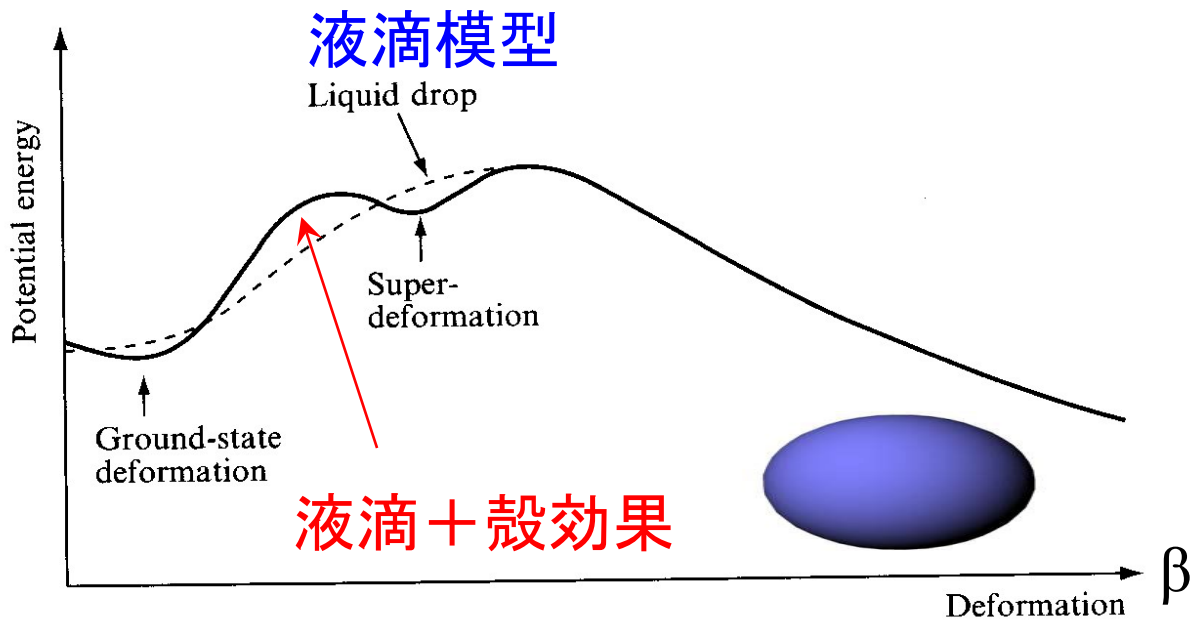
液滴模型→常に球形が基底状態



変形することにより
ギャップが開く

Nilsson diagram

Figure 13. Nilsson diagram for protons, $Z \geq 82$ ($\epsilon_4 = \epsilon_2^2/6$).

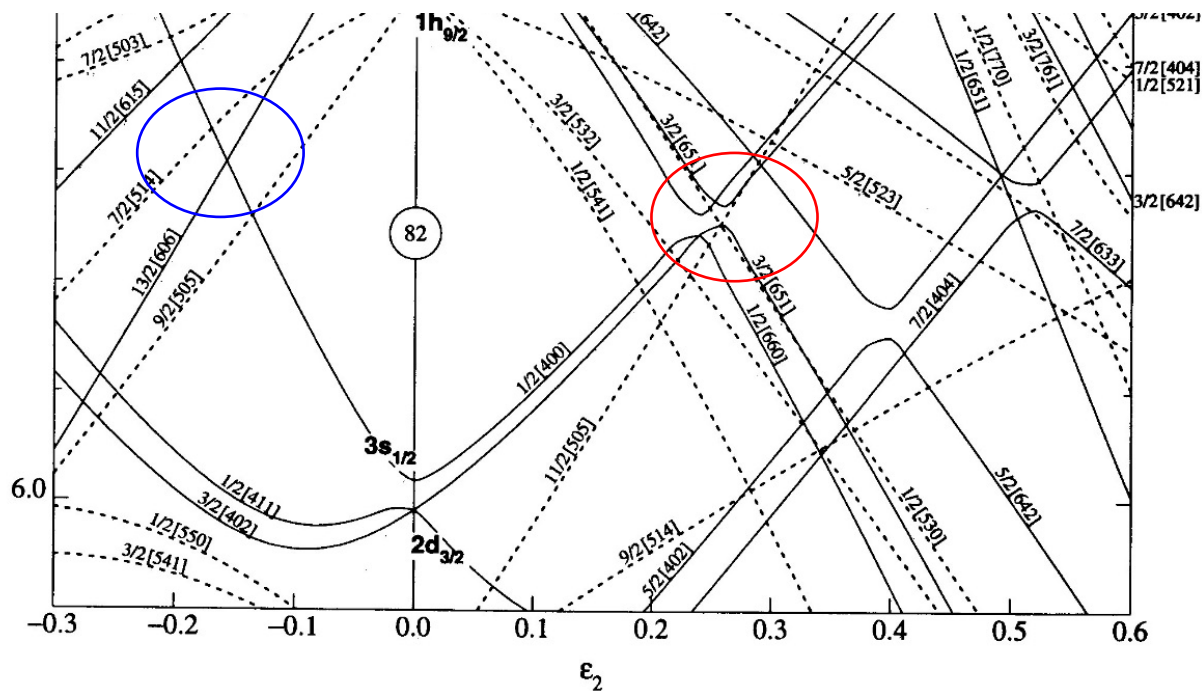


準位にギャップが開くと原子核が安定になる

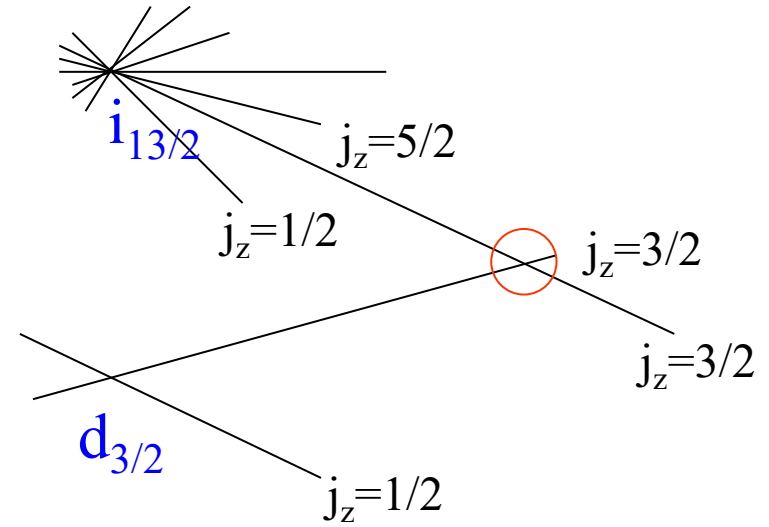
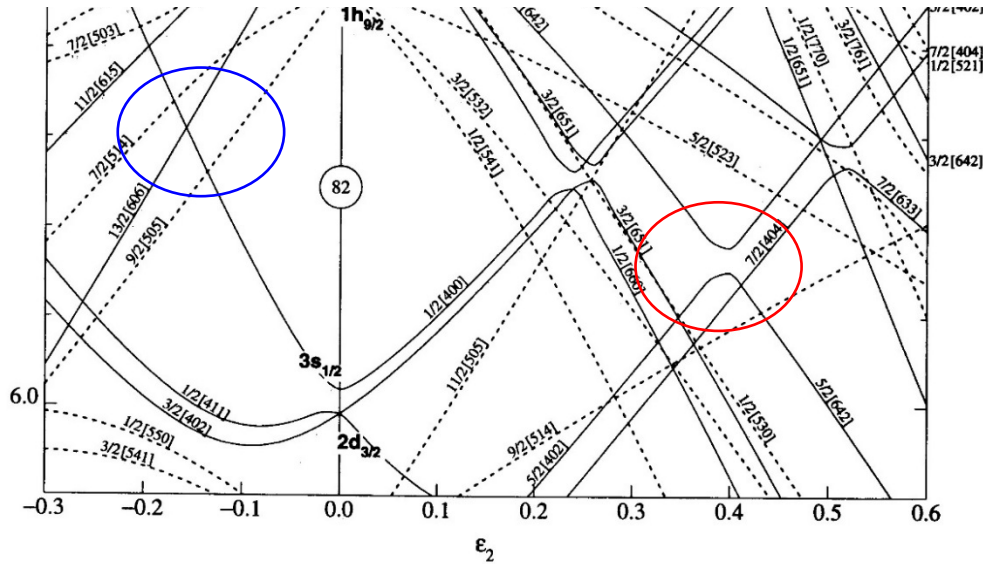
$$E(\beta) = E_{LDM}(\beta) + E_{shell}(\beta)$$

- 原子核が変形
- 核子が感じるポテンシャルも変形
 - 変形度によって異なる量子力学的補正(殻効果)

➤ ニルソン図で準位が反発しているように見えるのは何ですか？

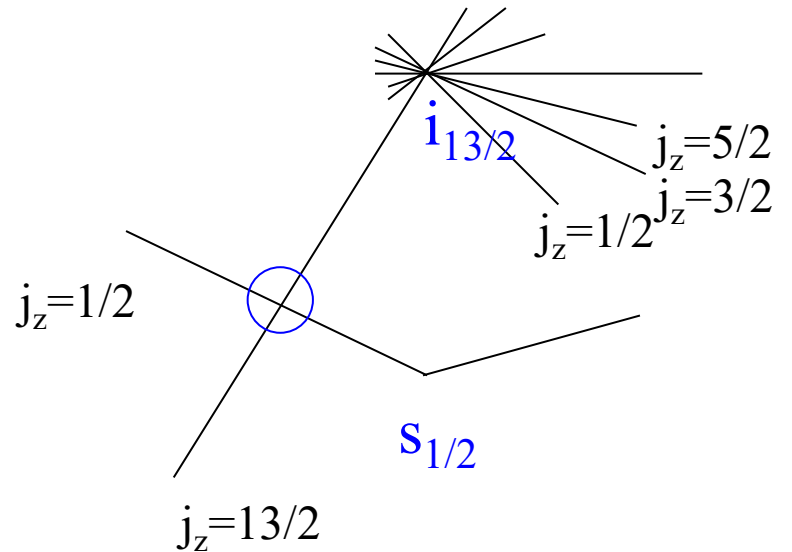


➤ ニルソン図で準位が反発しているように見えるのは何ですか？



同じ量子数を持つ準位は交わらない
(量子数が違うと交わってもよい)

「ノイマン-ウィグナーの定理」

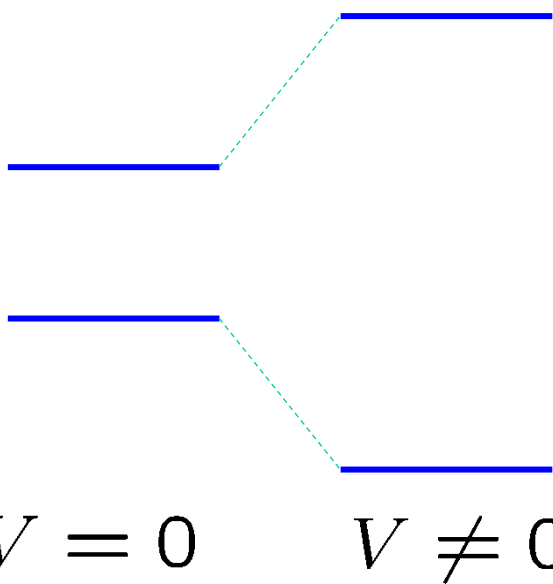


準位交差の問題：同じ量子数を持つ2つの状態は交差しない

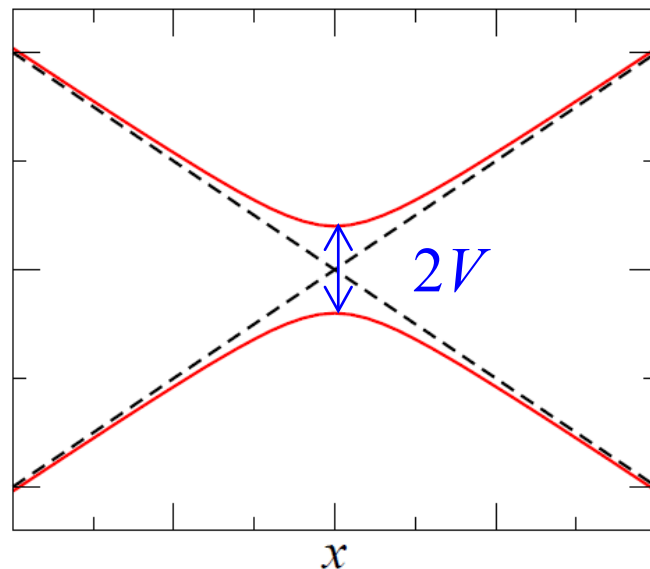
「ノイマン-ウィグナーの定理」

$$\begin{pmatrix} -\epsilon x & V \\ V & \epsilon x \end{pmatrix}$$

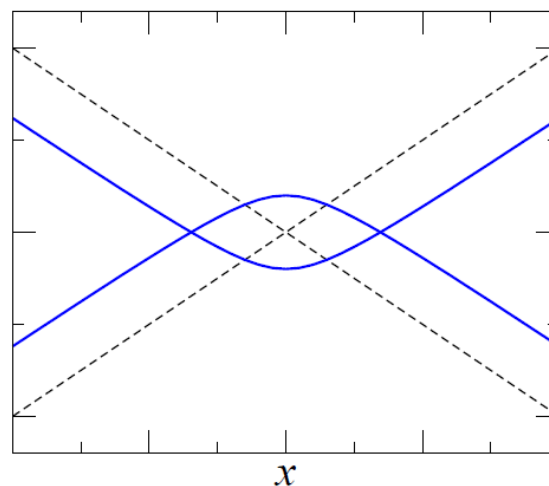
対角化 $\rightarrow \lambda_{\pm}(x) = \pm \sqrt{\epsilon^2 x^2 + V^2}$



Vの符号によらず必ず反発

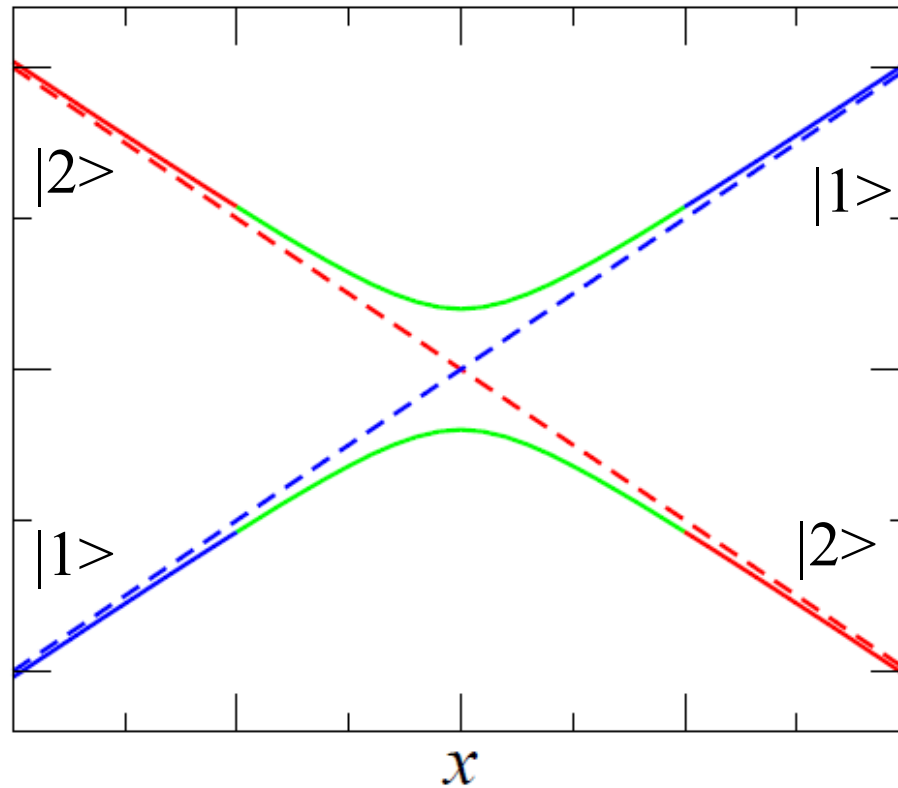


「疑似交差」、「準位反発」



このようになることはない

x がゆっくりと変化すると断熱的に状態が $|1\rangle$ から $|2\rangle$ へ変化
(断熱遷移)



Landau-Zener の式:

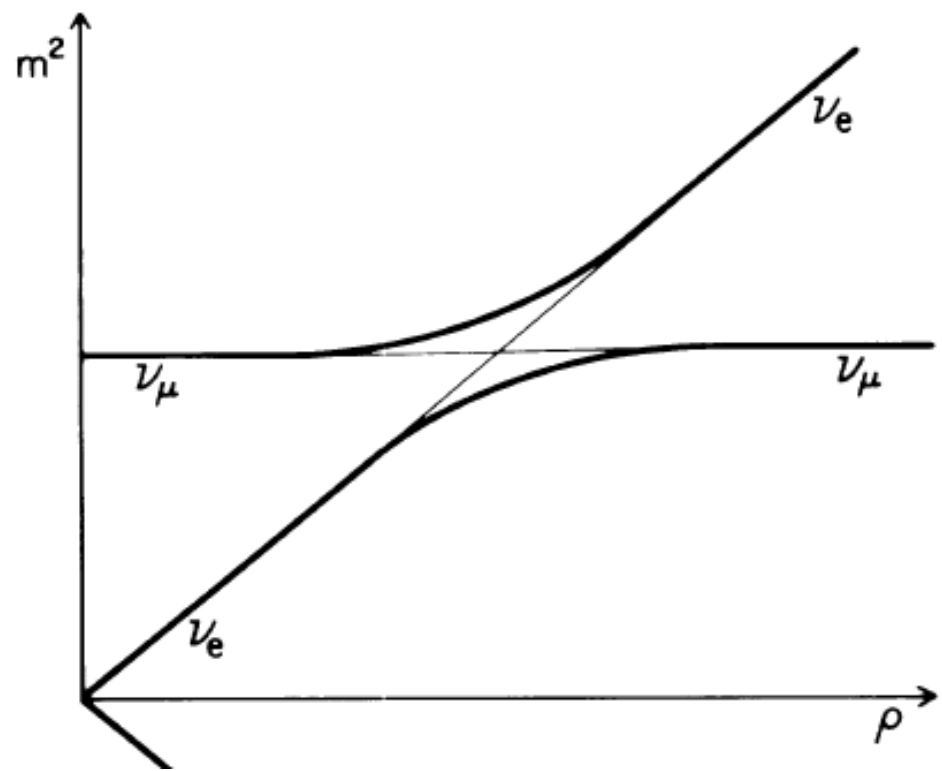
$$P(|1\rangle \rightarrow |1\rangle) = \exp\left(-\frac{2\pi V^2}{\hbar|\dot{x}| \cdot 2\epsilon}\right)$$

cf. ニュートリノ振動と準位交差問題

$$i\hbar \frac{\partial}{\partial t} \begin{pmatrix} \Psi_e \\ \Psi_\mu \end{pmatrix} = \left[\begin{pmatrix} E + A(r) & 0 \\ 0 & E \end{pmatrix} + a \begin{pmatrix} -\cos 2\theta & \sin 2\theta \\ \sin 2\theta & \cos 2\theta \end{pmatrix} \right] \begin{pmatrix} \Psi_e \\ \Psi_\mu \end{pmatrix}$$

$$E = \frac{1}{2}(m_1^2 + m_2^2), \quad a = \frac{1}{2}(m_2^2 - m_1^2)$$

電子ニュートリノと物質中の電子との相互作用



物質中で共鳴的にニュートリノ振動が起こる = MSW 効果

Ref.
H.A. Bethe, PRL56('86)1305,
W.C. Haxton, PRL57('86)1271

レポート問題3

(i) 3次元非等方調和振動子

$$H = \frac{p^2}{2m} + \frac{1}{2}m\omega_z^2 z^2 + \frac{1}{2}m\omega_{\perp}^2(x^2 + y^2)$$

$$\omega_{\perp} = \omega_0\left(1 + \frac{\epsilon}{3}\right)$$

$$\omega_z = \omega_0\left(1 - \frac{2}{3}\epsilon\right)$$

を考える。 ϵ を0から1まで変化させるとき、 $\epsilon = 0$ の時の基底状態、第一励起状態、第二励起状態のエネルギーはどのように変化するか図示せよ。

(ii) 同様に ϵ を0から-1まで変化させるとどうなるか?

* (i) と (ii) をまとめて答えてもOK

レポート問題4

多体系の波動関数 $|\Psi\rangle$ が角運動量の固有状態 $|\Psi_{IK}\rangle$ の重ね合わせとして

$$|\Psi\rangle = \sum_I C_I |\Psi_{IK}\rangle$$

で与えられているとする。ここで、 I は多体系全体の角運動量の大きさ、 K はその z 成分である (K は保存しているとする)。この状態を角度 Ω だけ回転した様態を考える。

$$|\Psi_\Omega\rangle = \hat{\mathcal{R}}(\Omega)|\Psi\rangle = \sum_{I,M} C_I |\Psi_{IM}\rangle \langle \Psi_{IM} | \hat{\mathcal{R}}(\Omega) | \Psi_{IK}\rangle$$

ここで、 $\hat{\mathcal{R}}(\Omega)$ は回転の演算子である。WignerのD関数の定義

$$D_{MK}^I(\Omega) = \langle \Psi_{IM} | \hat{\mathcal{R}}(\Omega) | \Psi_{IK}\rangle$$

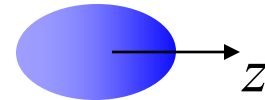
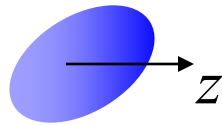
及び直交性
$$\int d\Omega D_{MK}^{I*}(\Omega) D_{M'K'}^{I'}(\Omega) = \frac{8\pi^2}{2I+1} \delta_{I,I'} \delta_{M,M'} \delta_{K,K'}$$

を用いて
$$|\Psi_{\text{proj}}\rangle = \int d\Omega D_{MK}^{I*}(\Omega) |\Psi_\Omega\rangle = \int d\Omega D_{MK}^{I*}(\Omega) \hat{\mathcal{R}}(\Omega) |\Psi\rangle$$

が $|\Psi_{IM}\rangle$ に比例することを示せ。

Angular Momentum Projection

Rotated wave function: $|\Psi_\Omega\rangle = \hat{\mathcal{R}}(\Omega)|\Psi\rangle$



(deformed HF solution)

(note)

$$\langle\Psi_\Omega|H|\Psi_\Omega\rangle = \langle\Psi|\underbrace{\hat{\mathcal{R}}^{-1}H\hat{\mathcal{R}}}_{=H}|\Psi\rangle = \langle\Psi|H|\Psi\rangle$$

= H (for rot. symmetric Hamiltonian)

a better wf: a superposition of rotated wave functions

$$|\Psi_{\text{proj}}\rangle = \int d\Omega f(\Omega)|\Psi_\Omega\rangle$$

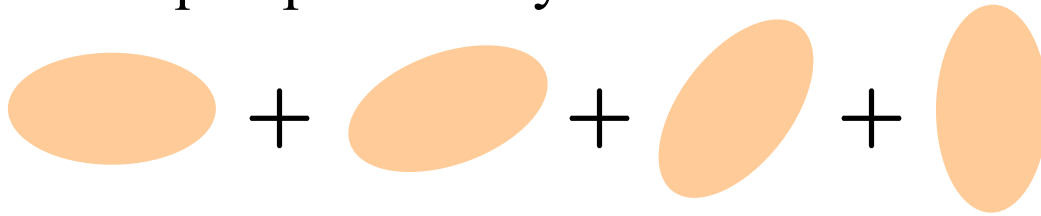
$f(\Omega)$ ← variational principle $\langle\delta\Psi_{\text{proj}}|H - E|\Psi_{\text{proj}}\rangle = 0$

$$\int [\langle\Psi_\Omega|H|\Psi_{\Omega'}\rangle - E \langle\Psi_\Omega|\Psi_{\Omega'}\rangle] f(\Omega')d\Omega' = 0$$

(note) For 0^+ state

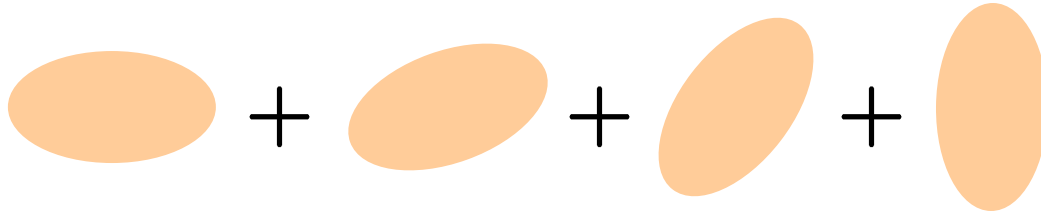
0^+ : no preference of direction (spherical)

→ Mixing of all orientations with an equal probability



$$|\Psi_{0^+}\rangle = \int d\Omega |\Psi_{\Omega}\rangle$$

(note) For 0^+ state



$$|\Psi_{0^+}\rangle = \int d\Omega |\Psi_{\Omega}\rangle$$

other states:

$$|\Psi_{IM}\rangle = \int d\Omega Y_{IM}(\Omega) |\Psi_{\Omega}\rangle$$

(for $K=0$)

“angular momentum projection”

$$|\Psi_{\text{proj}}\rangle = \int d\Omega f(\Omega) |\Psi_{\Omega}\rangle$$

$f(\Omega)$ ← variational principle

$$\int [\langle \Psi_{\Omega} | H | \Psi_{\Omega'} \rangle - E \langle \Psi_{\Omega} | \Psi_{\Omega'} \rangle] f(\Omega') d\Omega' = 0$$

(Hill-Wheeler equation)

cf. Generator Coordinate Method

Solution: Wigner's D-function

$$f(\Omega) = D_{MK}^{I*}(\Omega)$$

(note)

$$\hat{\mathcal{R}}(\Omega) |\phi_{IK}\rangle = \sum_M |\phi_{IM}\rangle \underbrace{\langle \phi_{IM} | \hat{\mathcal{R}}(\Omega) | \phi_{IK} \rangle}_{D_{MK}^I(\Omega)}$$

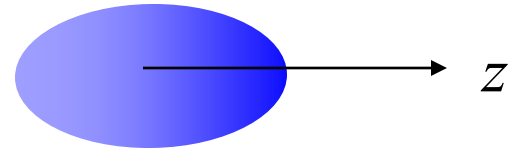
$$D_{M0}^I(\phi, \theta, \chi) = \sqrt{\frac{4\pi}{2I+1}} Y_{IM}^*(\theta, \phi)$$

$$\int d\Omega D_{MK}^{I*}(\Omega) D_{M'K'}^I(\Omega) = \frac{8\pi^2}{2I+1} \delta_{I,I'} \delta_{M,M'} \delta_{K,K'}$$

Projection Operator

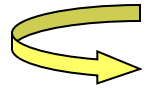
Consider a HF state with the axial symmetry

$$|\Psi\rangle = \sum_I C_I |\Psi_{IK}\rangle$$



→ rotated state:

$$|\Psi_\Omega\rangle = \hat{\mathcal{R}}(\Omega)|\Psi\rangle = \sum_{I,M} C_I D_{MK}^I(\Omega) |\Psi_{IM}\rangle$$



$$\begin{aligned} |\Psi_{\text{proj}}\rangle &= \int d\Omega D_{MK}^{I*}(\Omega) |\Psi_\Omega\rangle \\ &= \frac{8\pi^2}{2I+1} C_I |\Psi_{IM}\rangle \end{aligned}$$

or

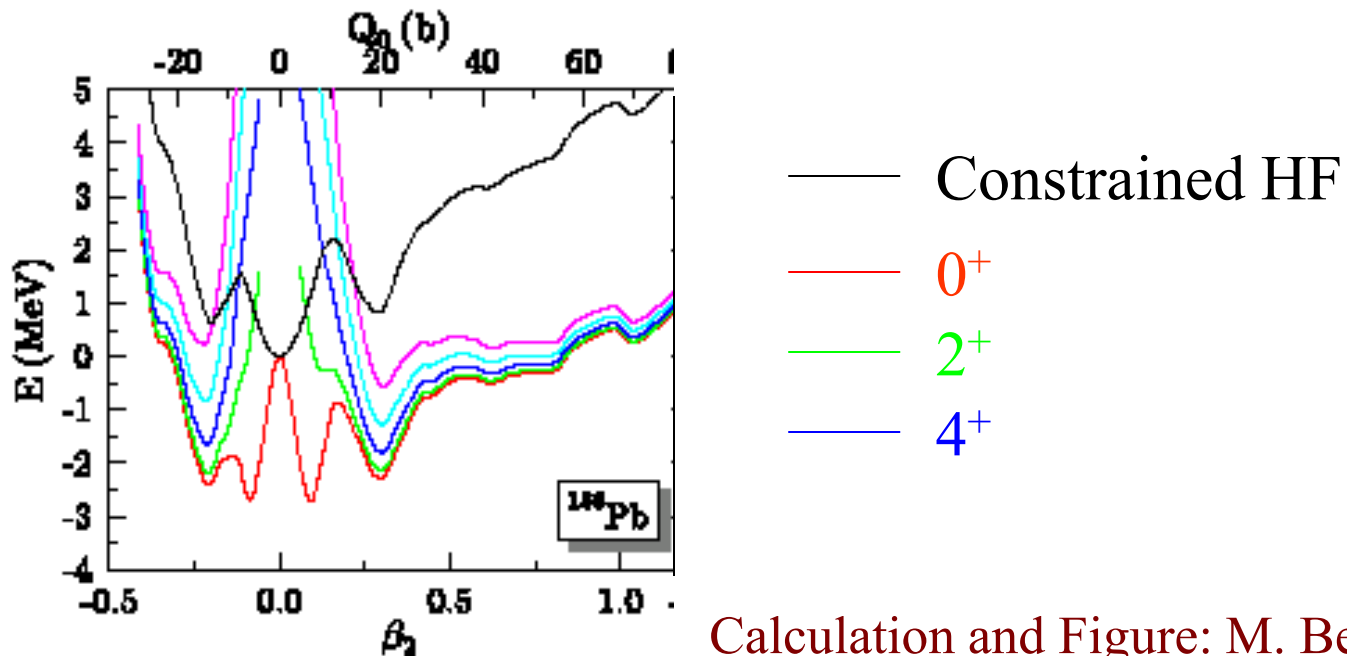
$$\hat{P}_{MK}^I = \frac{2I+1}{8\pi^2} \int D_{MK}^{I*}(\Omega) \hat{\mathcal{R}}(\Omega) d\Omega = |IM\rangle\langle IK|$$

Projected wave function:

$$|\Psi_{IM}\rangle = \hat{P}_{MK}^I |\Psi\rangle = \frac{2I+1}{8\pi^2} \int d\Omega D_{MK}^{I*}(\Omega) \hat{\mathcal{R}}(\Omega) |\Psi\rangle$$

Projected energy surface:

$$E_I = \frac{\langle \Psi_{IM} | H | \Psi_{IM} \rangle}{\langle \Psi_{IM} | \Psi_{IM} \rangle} = \frac{\langle \Psi | \hat{P}_{KM}^I H \hat{P}_{MK}^I | \Psi \rangle}{\langle \Psi | \hat{P}_{KM}^I \hat{P}_{MK}^I | \Psi \rangle}$$



Calculation and Figure: M. Bender

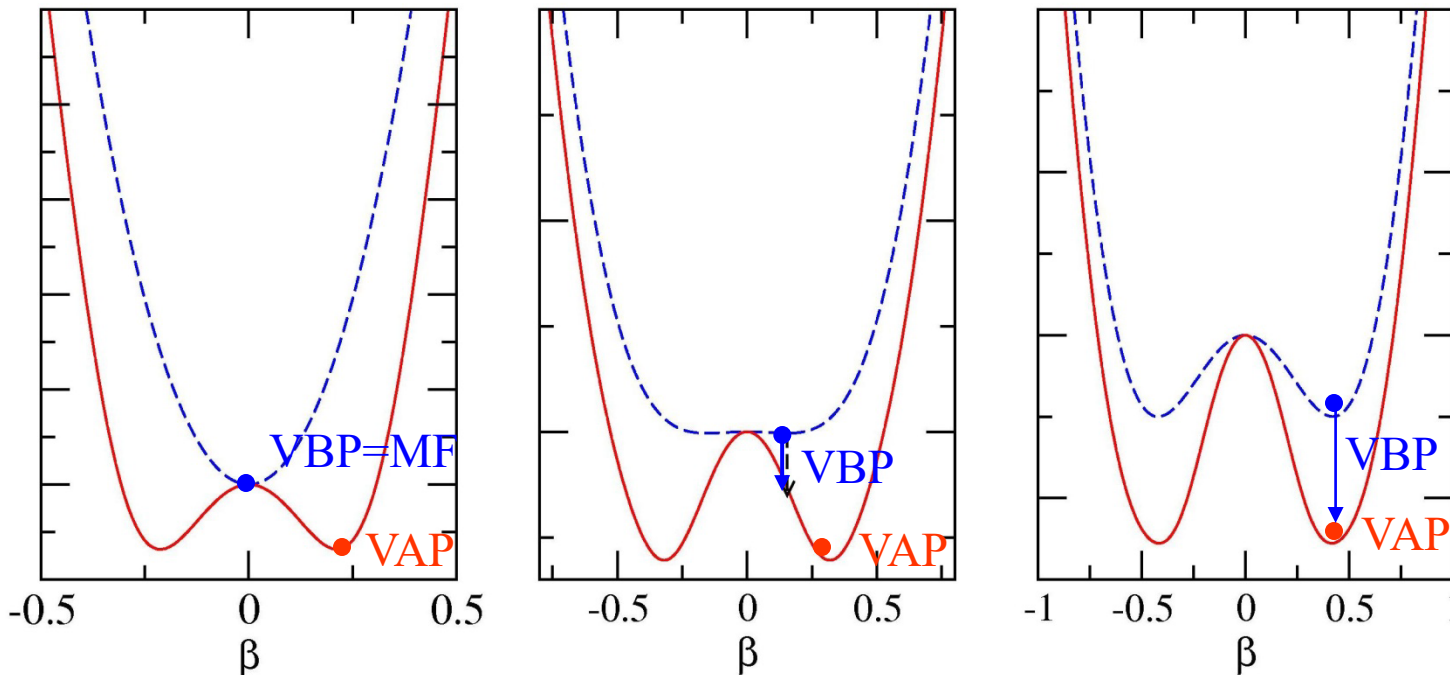
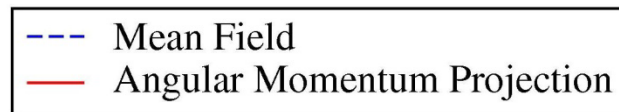
VAP v.s. VBP

➤ Variation *Before* Projection (VBP)

$$\text{minimize } \langle \Psi | H | \Psi \rangle / \langle \Psi | \Psi \rangle \longrightarrow |\Psi_{IM}\rangle = \hat{P}_{MK}^I |\Psi\rangle$$

➤ Variation *After* Projection (VAP)

$$|\Psi_{IM}\rangle = \hat{P}_{MK}^I |\Psi\rangle \longrightarrow \text{minimize } \langle \Psi_{IM} | H | \Psi_{IM} \rangle / \langle \Psi_{IM} | \Psi_{IM} \rangle$$



VBP:

simple, but does not work for small deformation. Also, a discontinuity problem

VAP:

robust, but very expensive